

Elektromotorne sheme i mjerena fizikalnih veličina vezanih za pogon sušenja žitarica

Pleša, Domagoj

Master's thesis / Diplomski rad

2016

Degree Grantor / Ustanova koja je dodijelila akademski / stručni stupanj: Josip Juraj Strossmayer University of Osijek, Faculty of Electrical Engineering, Computer Science and Information Technology Osijek / Sveučilište Josipa Jurja Strossmayera u Osijeku, Fakultet elektrotehnike, računarstva i informacijskih tehnologija Osijek

Permanent link / Trajna poveznica: <https://urn.nsk.hr/urn:nbn:hr:200:898057>

Rights / Prava: [In copyright/Zaštićeno autorskim pravom.](#)

*Download date / Datum preuzimanja: **2024-05-18***

Repository / Repozitorij:

[Faculty of Electrical Engineering, Computer Science
and Information Technology Osijek](#)



SVEUČILIŠTE JOSIPA JURJA STROSSMAYERA U OSIJEKU
FAKULTET ELEKTROTEHNIKE, RAČUNARSTVA I
INFORMACIJSKIH TEHNOLOGIJA OSIJEK

Diplomski studij

**ELEKTROMOTORNE SHEME I MJERENJA
FIZIKALNIH VELIČINA VEZANIH ZA POGON
SUŠENJA ŽITARICA**

Diplomski rad

Domagoj Pleša

Osijek, 2016.

SADRŽAJ

1. UVOD	1
1.1. Zadatak diplomskog rada	1
2. POGON ZA SUŠENJE ŽITARICA	2
2.1. Osnovne informacije o silosu	2
2.2. Povijest tvrtke Žito d.o.o Osijek.....	3
2.3. Opis rada silosa u OC Šljivoševci	3
2.4. Blok dijagram procesa proizvodnje.....	23
2.5. Jednopolna shema pogona.....	24
3. ASINKRONI KAVEZNI MOTOR.....	25
4. TEHNIČKI OPIS POSTROJENJA	29
4.1. Napajanje električnom energijom	29
4.2. Razdjelnici.....	29
4.3. Upravljanje i signalizacija.....	29
4.4. Zaštita od indirektnog dodira	30
4.5. Zaštita od kratkog spoja i preopterećenja.....	30
4.6. Instalacija gromobrana i zaštitnog uzemljenja	31
4.7. Električna rasvjeta	31
4.8. Zaštita od statickog elektriciteta.....	31
5. MJERENJA	32
5.1. Uloga mjerjenja u pogonima	32
5.2. Ispitivanje otpora uzemljenja u svrhu zaštite od statickog elektriciteta	33
5.3. Vizualni pregled sustava zaštite od munje	41
5.4. Ispitivanje električne instalacije	46
5.5. Mjerenje otpora petlje kvara.....	47
6. PRORAČUNI	48

6.1. Svrha proračuna.....	48
6.2. Proračun struja kratkog spoja	48
6.3. Zaštita vodova od preopterećenja.....	49
6.4. Proračun pada napona	49
6.5. Proračun efikasnosti zaštite od indirektnog dodira	50
6.6. Proračun vršne snage i vršne struje	50
6.7. Otpor kabela	51
6.8. Otpor zaštitnog uzemljenja.....	52
7. SHEME ELEKTROMOTORNOG POGONA	53
7.1. Funkcija razvodnih ormara.....	53
7.2. Razvodni ormar =NRO1	56
7.3. Razvodni ormar =NRO1.1	66
7.4. Razvodni ormar =NRO2	71
8. ZAŠTITA POGONA.....	73
8.1. Uloga zaštitnih uređaja u pogonima	73
8.2. Sklopnići.....	73
8.2.1 Motorni sklopnići	74
8.3. Glavna sklopka	76
8.4. Osigurači	76
8.5. Uzemljenje razvodnog ormara	78
9. ZAKLJUČAK.....	79
LITERATURA	81
KORIŠTENE OZNAKE I SIMBOLI.....	83
SAŽETAK.....	85
ABSTRACT	86
ŽIVOTOPIS.....	87

1. UVOD

Najbolji pokazatelj razumijevanja pojave i procesa iz područja elektrotehnike budućeg diplomiranog inženjera je njegov diplomski rad. On bi trebao biti skup teorijskih i praktičnih znanja, koja su stečena tijekom tri godine preddiplomskog i dvije godine diplomske studije. Tako će se i u ovom diplomskom radu obraditi široko područje elektrotehnike, uvezši pogon za sušenje žitarica kao primjer. Kao osnova za pisanje rada biti će poznavanje teorije iz pojedinih kolegija s preddiplomskog („Osnove elektrotehnike“, „Osnove mjerjenja“, „Osnove električnih pogona“) i diplomske studije elektrotehnike, smjer elektroenergetika („Električni strojevi“, „Analiza EES“, „Električni pogoni“, „Zaštita u EES“, „Vođenje EES“, „Projektiranje električnih instalacija i postrojenja“) te njena primjena na isti. Ovaj uradak započeti će kratkim opisom samog pogona za sušenje žitarica i načinom rada, a nastaviti će se mjeranjima vezanim za puštanjem silosa u pogon, te proračunima. Mjerjenja će biti potkrepljena formulama i tehničkim opisima uspoređivanja rezultata s kritičnim vrijednostima koja su dozvoljena za nesmetan rad ovog pogona. Završni dio diplomskog rada biti će rezerviran za pogled na pogon s perspektive elektromotornih shema i zaštite istog. Također će se učiniti što je mogući veći broj podjela unutar podnaslova kako bi svaki pojedini dio mogao biti što opširnije i kvalitetnije objašnjen. Kako bi ova tema bila detaljno prikazana, ona mora dodirnuti i druga područja znanosti (primjerice građevine i strojarstva), ali u samo minimalnim količinama, dovoljnim da se upozna čitatelja ovog rada o kojem se točno objektu radi. Ostatak će biti posvećen promatranju pogona sa gledišta elektrotehnike.

1.1. Zadatak diplomskog rada

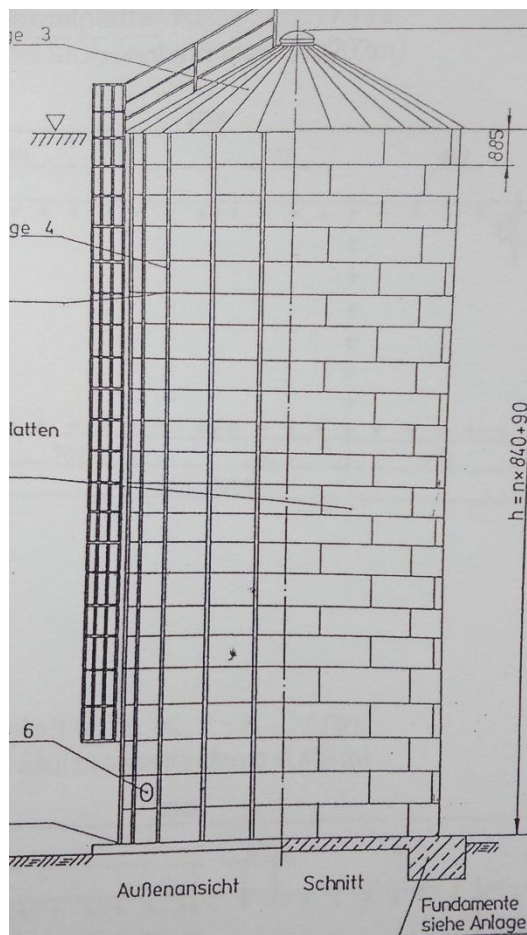
U diplomskom radu će se odraditi, uz sam opis rada silosa, i tehnički dio koji podrazumijeva nacrte samih objekata, elektroinstalacije, jednopolne sheme razvodnih ormara te izgled svih razvodnih ormara unutar pogona. Osim opisnog djela (tekstualnog) i shematskog, u ovom radu će biti predstavljena različita mjerjenja kao što su : otpor petlje, otpor izolacije i otpor uzemljenja, te padovi napona, otpornost kabela i slično.

2. POGON ZA SUŠENJE ŽITARICA

2.1. Osnovne informacije o silosu

Kao što je već i rečeno u uvodu, silosi kao pogon za sušenje žitarica, biti će objekt ovog diplomskog rada. Prije nego se uopće počnemo baviti proučavanjem istog s gledišta elektrotehnike, treba iznijeti osnovne informacije.

Silos je zatvoren prostor namijenjen pohranjivanju različitih materijala. Većinom se koristi u poljoprivredi (žitarice, sirača), ali to nije jedina grana djelatnosti koja možete upotrebljavati isti. Tako se, naime, u silose mogu pohranjivati cement, kamena prašina i druge vrste materijala. Ovisno o materijalu s kojim su izgrađeni, najviše korišteni silosi moderne ere su limeni i betonski. U ovom diplomskog radu, obradit će se silos koji je limenog pokrova, a njegova konstrukcija je prikazana na slici 2.1. [1].



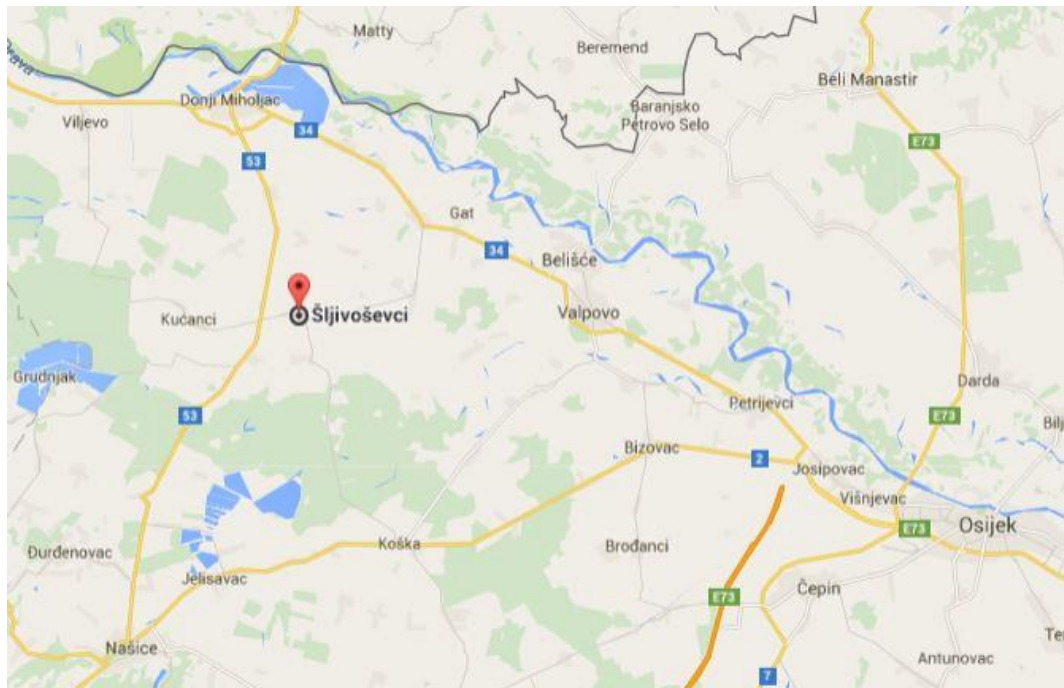
Slika 2.1. Nacrt konstrukcije silosa

2.2. Povijest tvrtke Žito d.o.o Osijek

Objekt našeg diplomskog rada, vlasništvo je tvrtke Žito d.o.o Osijek. Tvrta, koju je osnovao Marko Pipunić, počela je sa radom 1992. godine s ciljem trgovine ratarskih kultura i repromaterijala potrebnih za ratarsku proizvodnju. S godinama, tvrtka se poslovno širi kupujući slavonsko-baranjska propala poduzeća i silose, a danas ima u vlasništvu brojne poznate renomirane tvrtke kao što su : Tvornica ulja Čepin, IPK Osijek, PPK Valpovo, PPK Orahovica, Šećerana Osijek. Osim fokusa na proizvodnju i skladištenje žitarica, Žito proširuje svoje poslovanje na proizvodnju mlijeka, jaja i uzgajanje svinja. Ova tvrtka uspješno posluje i van granica Republike Hrvatske, kupujući kompaniju PP Ratkovo u Vojvodini. Krajem 2011. godine, ova osječka tvrtka, pokreće proizvodnju električne energije iz biomase na farmi muznih krava Mala Branjevina. Planirana snaga dvaju bioplinskih postrojenja je 1 MW svaka, dok se godišnja proizvodnja kreće oko 8 GWh. Okupljujući ove brandove i aktivirajući njihov golemi potencijal, Žito Grupa s godinama postaje najjači hrvatski proizvođač u poljoprivrednom sektoru.

2.3. Opis rada silosa u OC Šljivoševci

Jedan dio ove uspješne tvrtke je i otkupni centar koji se nalazi u Šljivoševcima, malenom mjestu nedaleko od Donjeg Miholjca (što je i vidljivo na karti prikazanoj na slici 2.2.) [2]. Prostorne koordinate navedenog mjesta su : $45^{\circ}39'26''\text{N}$; $18^{\circ}12'54''\text{E}$.



Slika 2.2. Lokacijski smještaj OC Šljivoševci

Žito grupa proširila je svoje djelovanje na prostore općine Magadenovac (mjesto Šljivoševci) 2011. godine. Silosi za pohranjivanje žitarica izgrađeni su od limenog pokrova i obavljaju svoje djelovanje sa ukupnim kapacitetom od 8 čelija. Na slici 2.3. vidljiva je satelitska snimka OC Šljivoševci, te silosa koji su sastavni dio istog (označeno žutom bojom) [3].



Slika 2.3. Satelitska snimka silosa OC Šljivoševci

Na slici 2.4. nalaze se silosi koji su objekt ovog diplomskog rada [4].

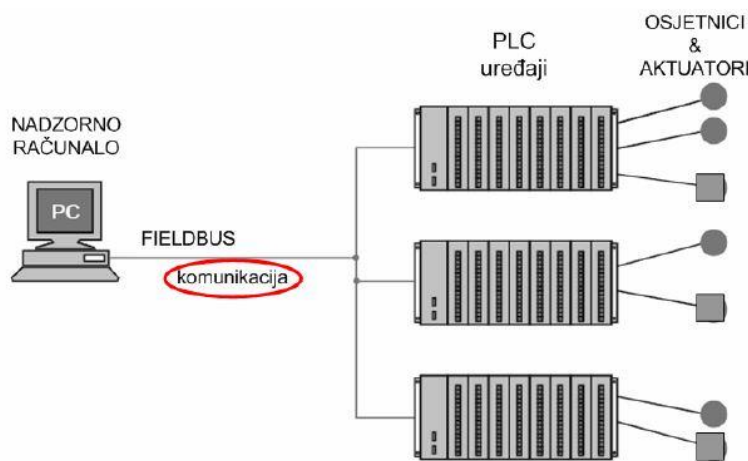


Slika 2.4. Silosi OC Šljivoševci

Rad silosa, kao i svakog pogona, započinje ulaskom sirovine. Međutim, prije svega, treba spomenuti kako je ovaj sustav (pogon) automatiziran.

Siemesov operatorski panel, smješten na vanjskoj strani razvodnog ormara broj 1 (o kojem će biti više rečeno u lekciji „Sheme elektromotornog pogona“, vrši nadzor nad pogon i upravlja istim. Ono u paru sa istoimenim PLC računalom sinkronizirano „vlada“ sustavom i suočava eventualne pogreške u radu. Sam izgled Siemensovog operatorskog panela biti će prikazan u nekoliko slika tijekom ove cjeline. Radom ovog računala zaslužan je sustav po imenu SCADA.

SCADA (Supervisory Control And Data Acquisition) sustav je osnova računalnog upravljanja i nadzora sustava (pogona), a obuhvaća rezultate daljinskog mjerjenja i daljinskih signala, te njegovu provjeru vjerodostojnosti, prikazivanje i pohranjivanje. Odnosno, to je tehnologija koja prikuplja podatke iz jednog ili više udaljenih jedinica sustava te šalje informacije i upravljačke naredbe u centar sustava. Osnovni elementi SCADA sustava su : centar, komunikacijski medij te daljinska stanica. Vrlo važna funkcija SCADA sustava je nadzor u on-line realnom vremenu. Korišteni program ima vrlo malo vrijeme odziva od svega nekoliko milisekundi, te mali aritmetički zahtjev. Čini vrlo pouzdan sustav te je osnova modernih pogona, kao i našeg. Osnovni prikaz funkcioniranja SCADA sustava prikazan je na slici 2.5. [5].



Slika 2.5. Shematski prikaz osnovnog SCADA sustava

Prvi korak rada silosa je istovar žitarica u usipni koš koji se nalazi ispod površine zemlje, a u sklopu je ovog pogona. Osnovno djelovanje tog prostora je, osim transporta sirovine do krajnje lokacije (ćelija), privremeno skladištenje, ako je u dalnjem dijelu pogona došlo do primanja nedopušteno velikih količina. Međutim, bolje rješenje je odgađanje istovara žitarica sve dok pogon ne profunkcionira po normalnom voznom redu. Osim betonske konstrukcije i čeličnog poklopca, ovaj dio pogona sadrži samo jedan motor koji služi za podizanje u viša područja ovog pogona (Slika 2.6.) [4].



Slika 2.6. Usipni koš za istovar žitarice

Tablica 2.1. prikazuje natpisnu pločicu motora koji upravlja transportom robe iz usipnog koša prema dalnjem dijelu pogona.

Tablica 2.1. Natpisna pločica motora u spremišnom djelu pogona za istovar žitarice

Naziv proizvodača:	KONČAR-MES
Vrsta stroja:	Asinkroni kavezni motor
Spoj :	zvijezda
Nazivna snaga:	5,5 kW
Nazivni napon:	400 V
Nazivna struja:	12,5 A
Faktor snage:	0,8
Frekvencija:	50 Hz
Brzina vrtnje:	1410 min ⁻¹

Iduća stavka ovog pogona je zdjeličasti elevator čiji je princip rada vrlo jasan, a to je da uz pomoć motora, smještenog na njegov najviši dio, sirovina odlazi u idući dio pogona. Vrlo je bitan transport robe na viši položaj, kako bi se lakše upravljalo istom i dobilo da njen krajnji oblik (smješten u čelijama) bude savršen i bez ikakvih „nuspojava“ kao što su korovi i trava. Međutim, o tome će se više govoriti u nastavku ovog rada, kako bi se lakše dočaralo čitatelju istog. Na slici 2.7. je vidljiv elevator koji se spominjao u nekoliko prethodnih rečenica [4].



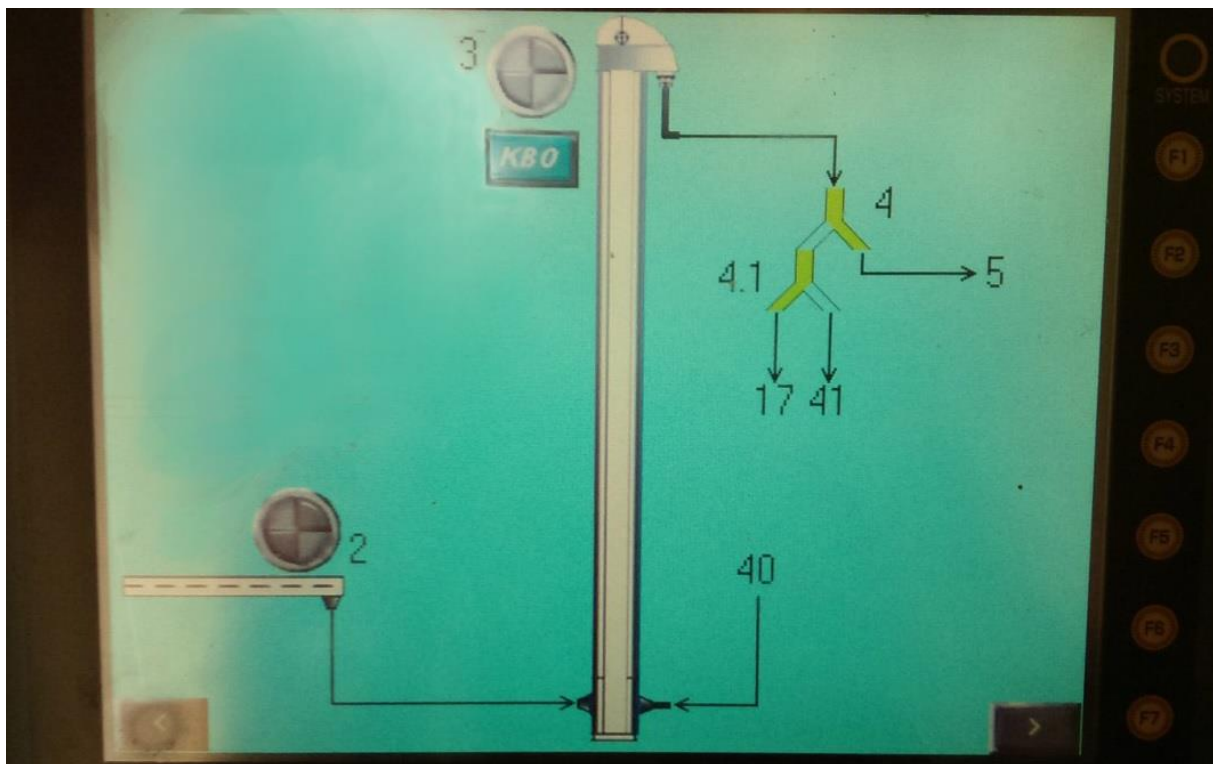
Slika 2.7. Zdjeličasti elevator

Tablica 2.2. prikazuje podatke o motoru, preuzete s natpisne pločice, koji se nalazi na zdjeličastom elevatoru.

Tablica 2.2. Natpisna pločica motora na zdjeličastom elevatoru

Proizvodač:	ENCLOSED
Vrsta stroja:	Asinkroni kavezni motor
Spoj :	zvijezda
Nazivna snaga:	5,5 kW
Nazivni napon:	400 V
Nazivna struja:	5,2 A
Faktor snage:	0,8
Frekvencija:	50 Hz
Brzina vrtnje:	720 min^{-1}

Kako je ovaj cjelokupni pogon automatiziran, moguće je uz pomoć Siemensovog operatorskog panela pratiti promjene stanja, ali i vidjeti grafički pregled motora i objekata. Prethodna dva dijela sustava (usipni koš i zdjeličasti elevator) možemo na slici 2.8. vidjeti kako to izgleda na zaslonu operatorskog panela [4].



Slika 2.8. Prikaz usipnog koša i zdjeličastog elevatora na zaslonu operatorskog panela
Siemens HAKKO V710C

gdje su : 2 - motor koji upravlja transportom robe iz usipnog koša do zdjeličastog elevatora

3 - motor koji upravlja zdjeličastim elevatorom

Slijedeći dio pogona su sita. Sito je naprava koja odjeljuje zrno određene veličine (većinom krupnije) od zrnatijeg, sirkog materijala. Njena primarna uloga je spomenuto odvajanje radi sprječavanja odlaska sitnijeg materijala (u našem primjeru korova, žiška, sitnih kamenčića) jer su isti nepoželjan materijal za skladištenje. Sita dolaze u paru, s krupnijim i sitnjim otvorima, kako bi i najmanje „nuspojave“ uklonili od žitarice. Također, primjerice kamenčići, mogu oštetiti transportni dio pogona, te izazvati zastoj istog te velike novčane izdatke za popravke.

Slika 2.9. prikazuje sita smješteno u našem pogonu OC Šljivoševci [5].



Slika 2.9. Sita u našem pogonu za sušenje žitarica

U tablici 2.3. možemo vidjeti podatke vezane za motor koji upravlja radom sita, a preuzeti su sa natpisne pločice motora.

Tablica 2.3. Natpisna pločica motora koji upravlja radom sita

Proizvodač:	RUPPO INDUSTRIALE ERCOLE MARELLI
Vrsta stroja:	Asinkroni kavezni motor
Spoj :	zvijezda
Nazivna snaga:	0,75 kW
Nazivni napon:	400 V
Nazivna struja:	2,2 A
Faktor snage:	0,74
Frekvencija:	50 Hz
Brzina vrtnje:	1385 min ⁻¹

Također, u istoj prostoriji nalazi se ventilator (smješten unutar limenog pokrova) za odvajanje prašine od zrnate sirovine. Naime, žitarica koja će krajnje biti smještena u čelijama, mora biti vrlo čista kako bi imala najbolje efekte sušenja. Ovaj skladišni prostor sastoji se od ventilatora koji pravi umjetan vjetar kako bi se prašina maknula sa zrna žitarica, dok je na donjem dijelu istog motor koji odvlači žitarice u daljnji dio pogona (Slika 2.10.) [4].



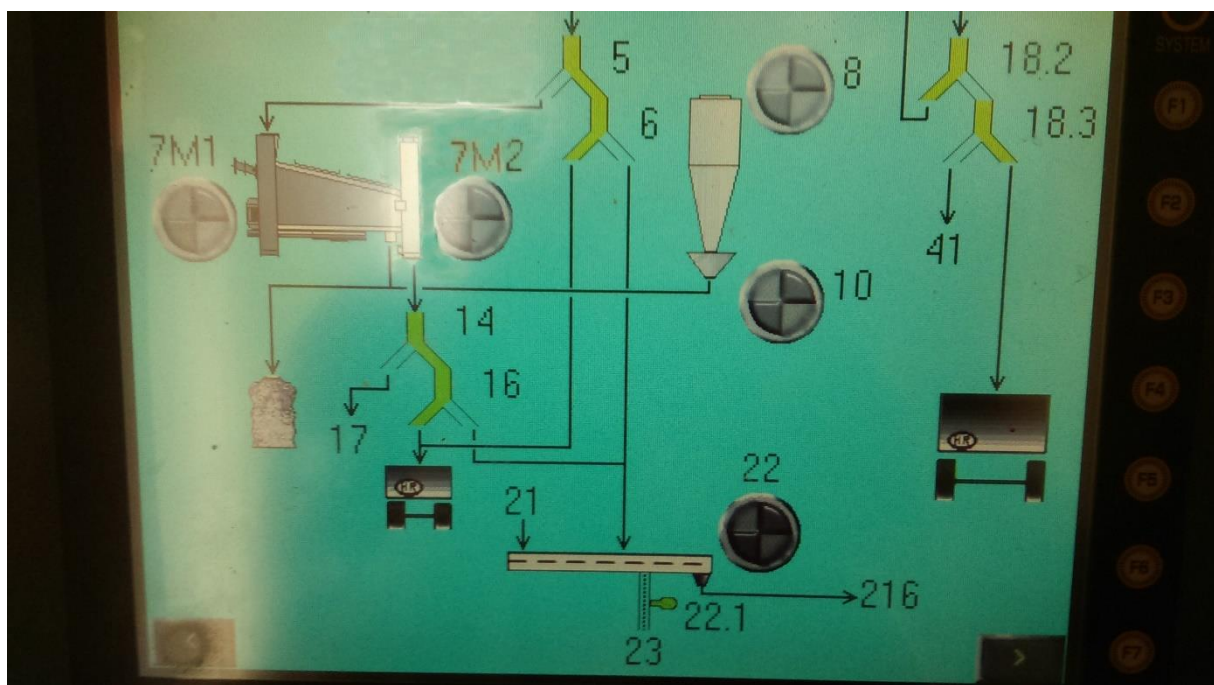
Slika 2.10. Ventilator (unutar skladišnog prostora) za odvajanje prašine od zrna žitarice

Tablica 2.4. prikazuje natpisnu pločicu motora koji upravlja radom sita za odvajanje prašine.

Tablica 2.4. Natpisna pločica motora na situ za odvajanje prašine

Proizvodač:	RUPPO INDUSTRIALE
Vrsta stroja:	Asinkroni kavezni motor
Spoj :	trokut
Nazivna snaga:	7,5 kW
Nazivni napon:	400 V
Nazivna struja:	2,2 A
Faktor snage:	0,74
Frekvencija:	50 Hz
Brzina vrtnje:	1385 min ⁻¹

Na zaslonu operatorskog panela Siemens Hakko V710C su prethodna dva dijela pogona prikazana na slici 2.11. [4].



Slika 2.11. Prikaz sita na zaslonu operatorskog panela Siemens Hakko V710C

gdje su : 7M1 i 7M2 - motori za upravljanje sitima

8 - motor koji upravlja ventilatorom

10 - motor koji odvodi pljesan sa žitarica (kako ne bi došlo do zastoja u radu)

Slijedeći dio pogona rezerviran je za lančasti elevator (Slika 2.12.) [4]. Njegova funkcija je transport robe (žitarica), prethodno očišćene i spremne za skladištenje. Kao što je i moguće vidjeti na slici 2.12., dva su identična nakošena transportera. Jedan služi za ulaz robe u čelije silosa, dok drugi ima obrnutu funkciju, tj. izlaz robe iz čelija i utovar iste. Na Siemensovom operatorskom panelu, oznaka motora koji upravlja lančastim elevatorom ima oznaku 22 (prikazano na slici 2.11.).



Slika 2.12. Lančasti elevator

U tablici 2.5. vidljivi su podaci o motoru koji upravlja lančastim elevatorom, a preuzeti su sa natpisne pločice motora.

Tablica 2.5. Natpisna pločica motora koji upravlja lančastim elevatorom

Proizvodač:	RUPPO INDUSTRIALE ERCOLE
Vrsta stroja:	Asinkroni kavezni motor
Spoj :	zvijezda
Nazivna snaga:	4 kW
Nazivni napon:	400 V
Nazivna struja:	5,2 A
Faktor snage:	0,8
Frekvencija:	50 Hz
Brzina vrtnje:	720 min ⁻¹

Vrlo važan dio pogona za sušenje žitarica je odvodnik (usmjeritelj) žitarica u čelije. Isti se nastavlja na lančasti elevator, a uloga mu je usmjeriti žitarice, pridošle sa sita nakošenim elevatorom, u željenu čeliju silosa. Zašto je vrlo važan ? Upravo zato što se u svim čelijama ne moraju nalaziti iste žitarice. Primjerice, dok jedna čelija pohranjuje žito kao poljoprivredno dobro, susjedna čelija može biti napunjena pšenicom. Usmjeritelj žitarica izrađen je u obliku pregrada, kojima čovjek može fizički djelovati na isti, te usmjeriti robu u željenu čeliju. Isti se nalazi na slici 2.13. [4].

**Slika 2.13.** Usmjeritelj žitarica u čelije silosa

Na zaslonu Siemensovog operatorskog panela je motor, koji upravlja usmjeriteljem žitarica u ćelije silosa, prikazan brojem 216 (Slika 2.14) [4].



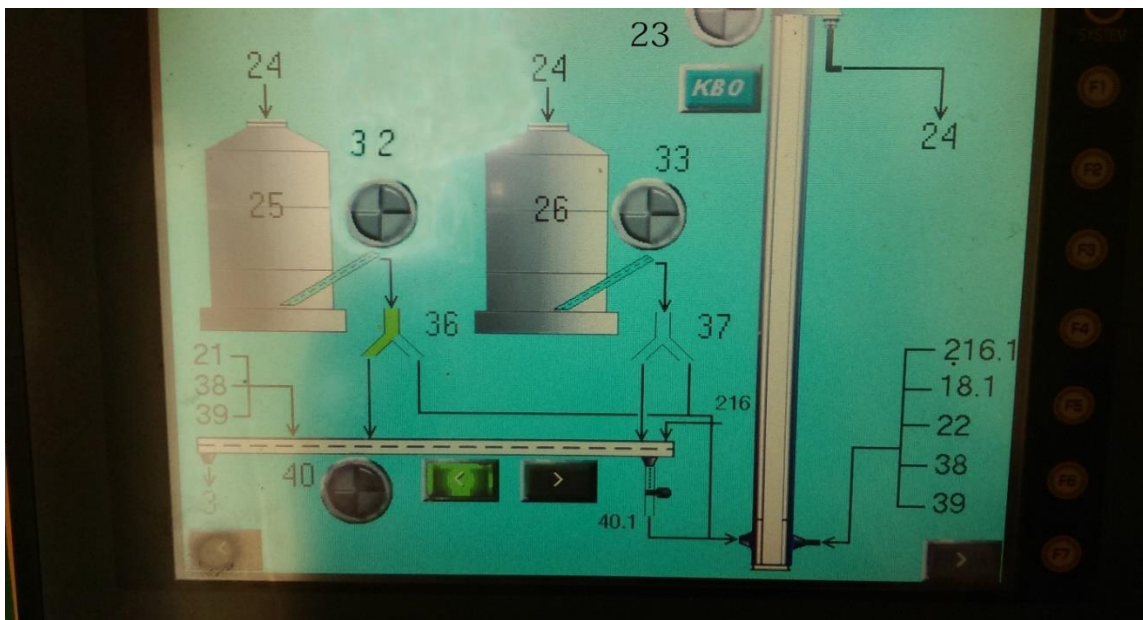
Slika 2.14. Prikaz usmjeritelja žitarica na zaslonu operatorskog panela Siemens Hakko V710C

Treći po redu, ujedno i posljednji elevator, nalazi se na pretposljednjem dijelu ovog pogona. On je zdjeličastog oblika i identičan je elevatoru na slici 2.7., a uloga mu je podizanje robe u ćelije silosa (Slika 2.15.) [4]. Jedan motor služi za podizanje robe u dvije ćelije, s kojima se opet upravlja u koje od dvaju ćelija se želi spremiti roba. Kako u cijelom sustavu, ovaj pogon sadrži osam ćelija, može se doći do zaključka da su četiri motora zaslužna za pohranjivanje žitarica u ćelije.

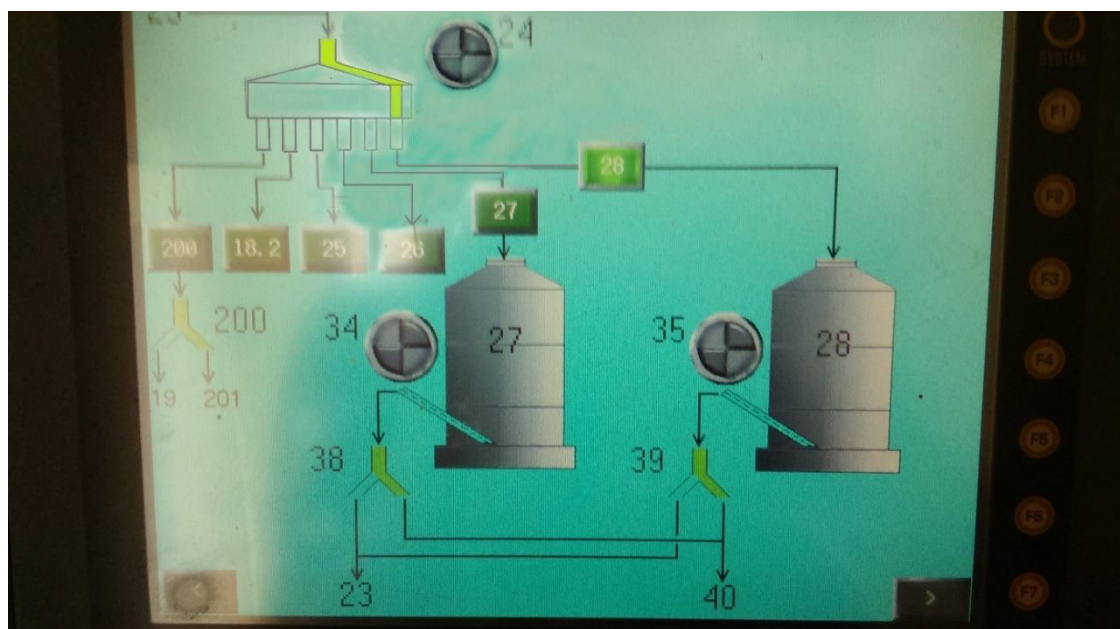


Slika 2.15. Zdjeličasti elevator robe

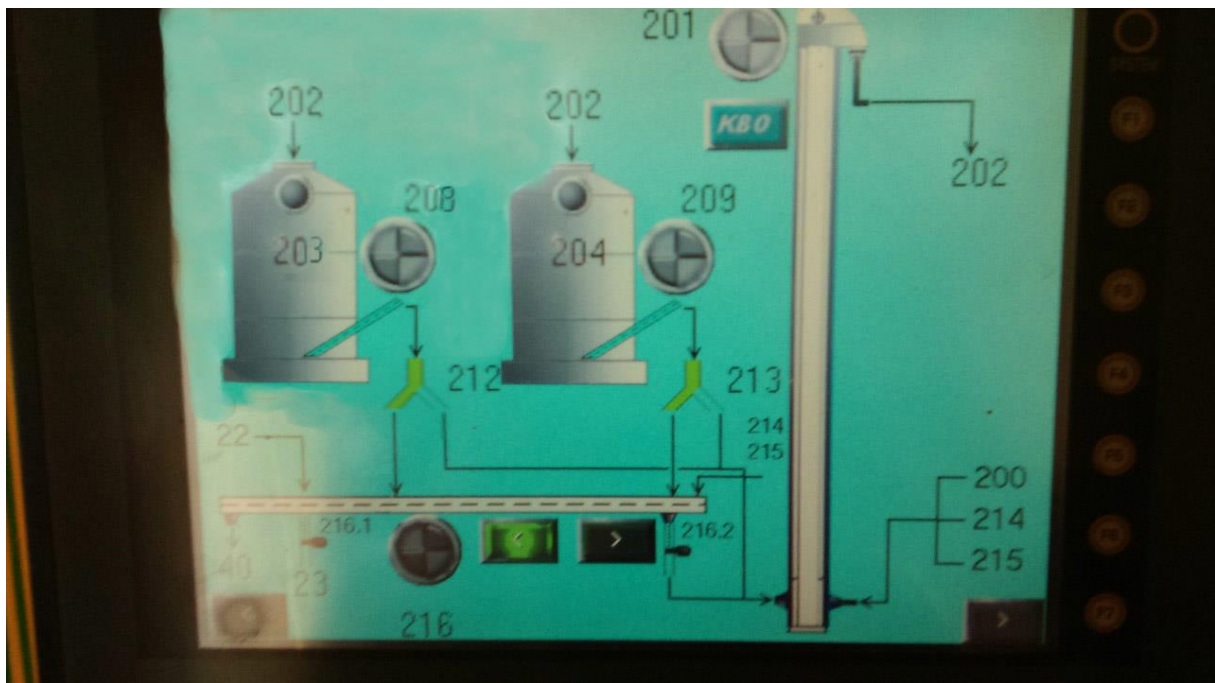
Na zaslonu Siemensovog operatorskog panela motori oznaka 23 (Slika 2.16.) i 24 (Slika 2.17.), pune ćelije 25, 26, 27 ili 28, dok motori oznaka 201 (Slika 2.18.) i 202 (Slika 2.19.) pohranjuju robu u ćelije 203, 204, 205 ili 206. [4].



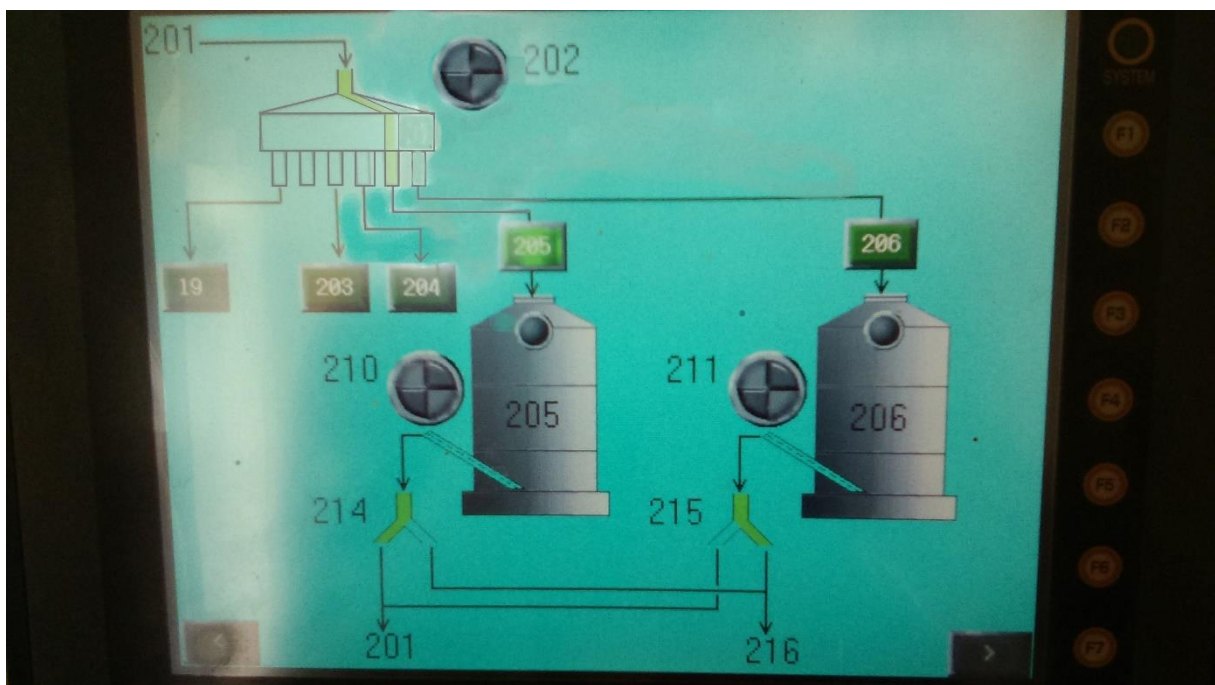
Slika 2.16. Prikaz motora broj 23 za punjenje čelija na zaslonu operatorskog panela Siemens
Hakko V710C



Slika 2.17. Prikaz motora broj 24 za punjenje čelija na zaslonu operatorskog panela Siemens
Hakko V710C



Slika 2.18. Prikaz motora broj 201 za punjenje čelija na zaslonu operatorskog panela Siemens
Hakko V710C



Slika 2.19. Prikaz motora broj 202 za punjenje čelija na zaslonu operatorskog panela Siemens
Hakko V710C

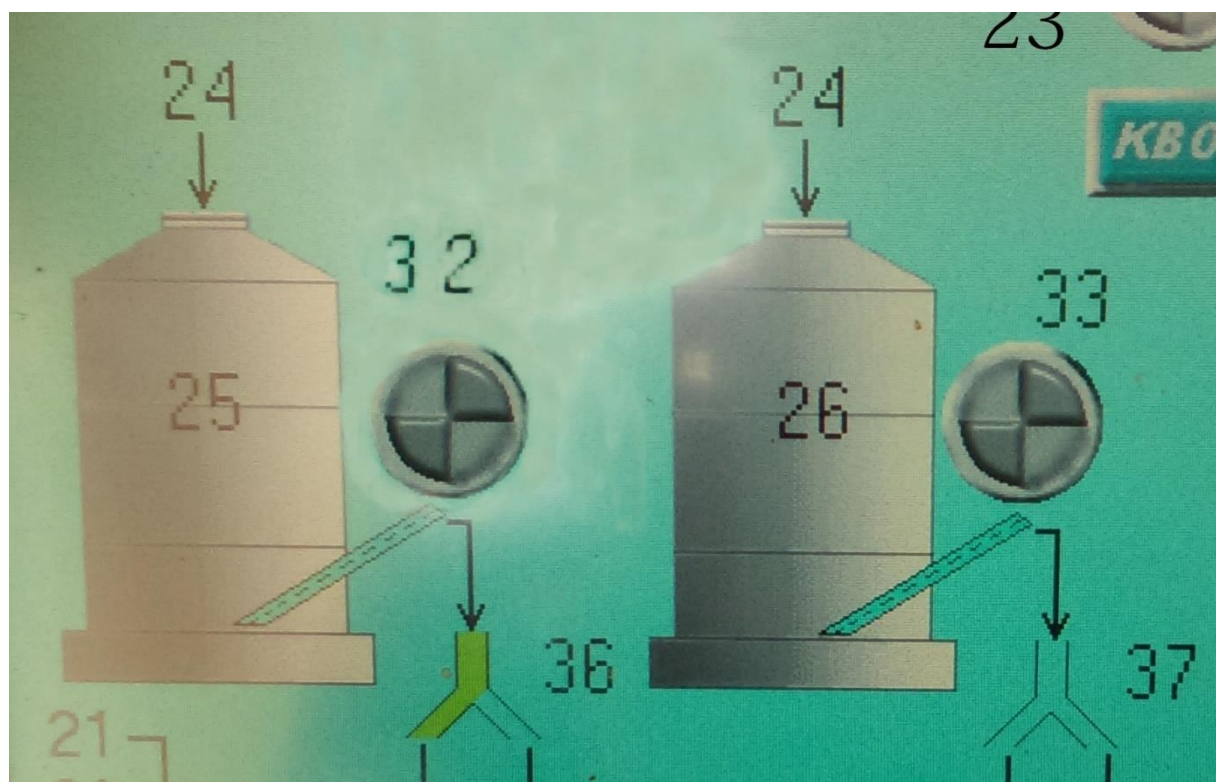
Natpisne pločice četiriju motora za punjenje čelija (23, 24, 201, 202) imaju iste vrijednosti, a jedna od njihovih natpisnih pločica će biti prikazani tablicom 2.6.

Tablica 2.6. Natpisna pločica motora za punjenje čelija

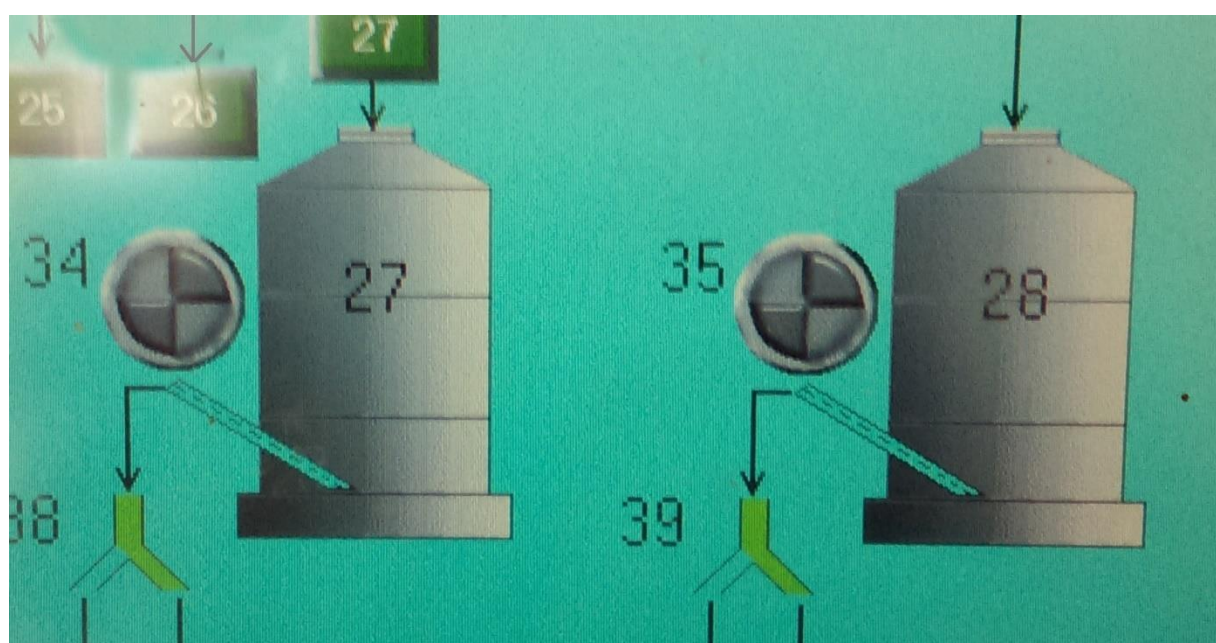
Proizvodač:	STANDARD
Vrsta stroja:	Asinkroni kavezni motor
Spoj :	zvijezda
Nazivna snaga:	7,5 kW
Nazivni napon:	400 V
Nazivna struja:	12,5 A
Faktor snage:	0,8
Frekvencija:	50 Hz
Brzina vrtnje:	1400 min ⁻¹

Kako smo na početku ovog diplomskog rada spomenuli ulogu silosa (čelija), više ćemo se bazirati na motore koji služe za pražnjenje čelija, a s kojima počinje proces od izlaska robe iz pogona, koji je identičan ulasku, ali obrnutog poretku.

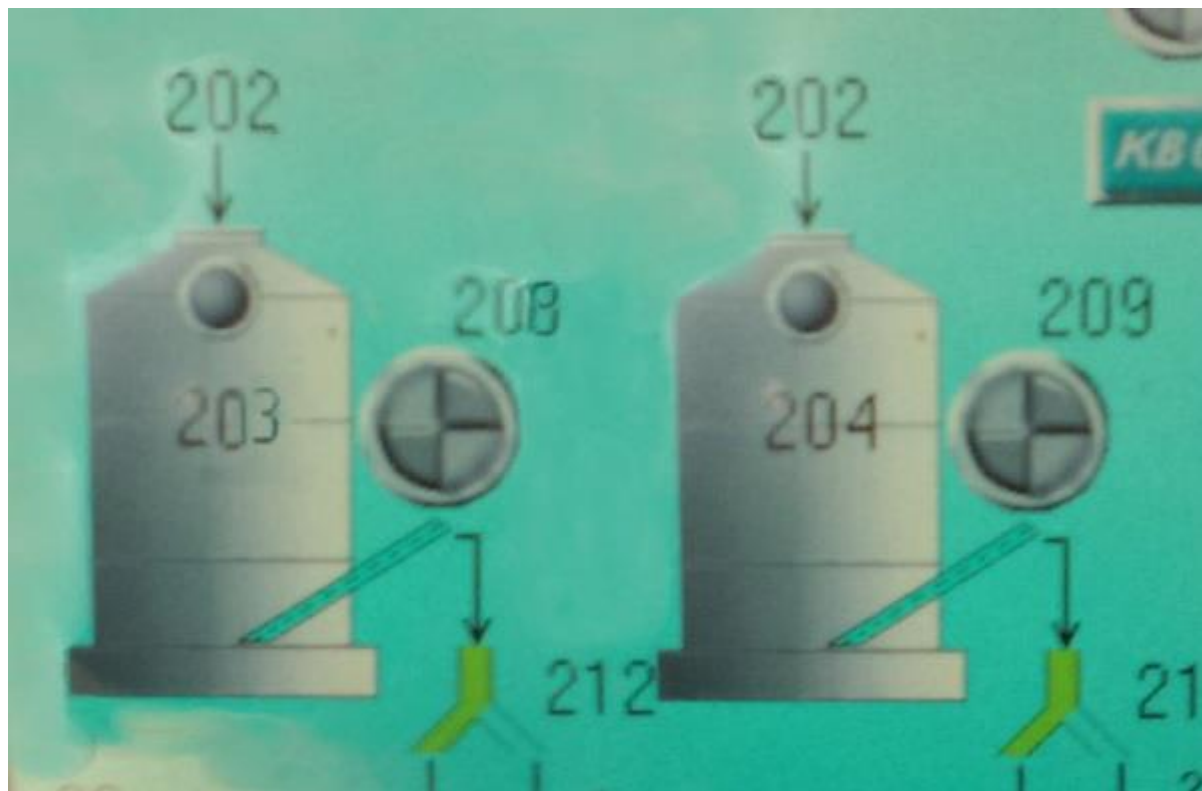
Na Siemensonovom operatorskom panelu motori oznaka 32 ili 33 (Slika 2.20.) prazne čelije oznaka 25 ili 26, dok motori oznaka 34 ili 35 (Slika 2.21.) prazne čelije 27 ili 28. Isto tako motori 208 ili 209 (Slika 2.22.) prazne čelije 203 ili 204, a motori oznaka 210 ili 211 (Slika 2.23.) prazne čelije 205 ili 206 [5].



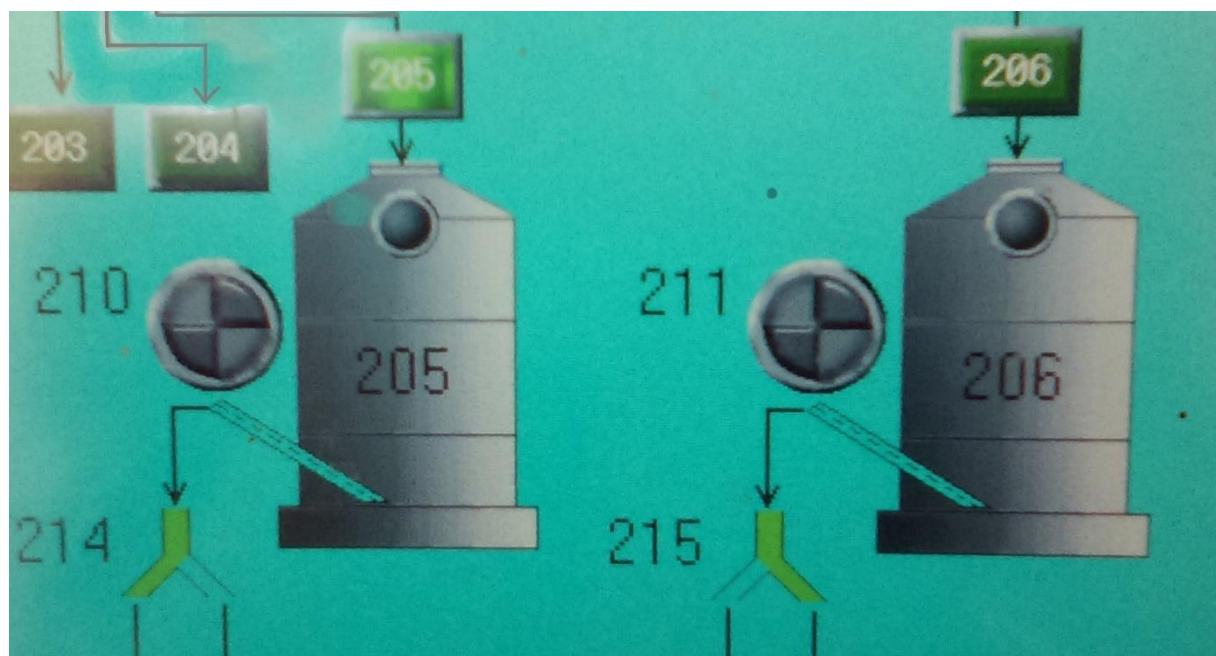
Slika 2.20. Prikaz motora broj 32 i 33 za pražnjenje čelija na zaslonu operatorskog panela
Siemens Hakko V710C



Slika 2.21. Prikaz motora broj 34 i 35 za pražnjenje čelija na zaslonu operatorskog panela
Siemens Hakko V710C



Slika 2.22. Prikaz motora broj 208 i 209 za pražnjenje čelija na zaslonu operatorskog panela
Siemens Hakko V710C



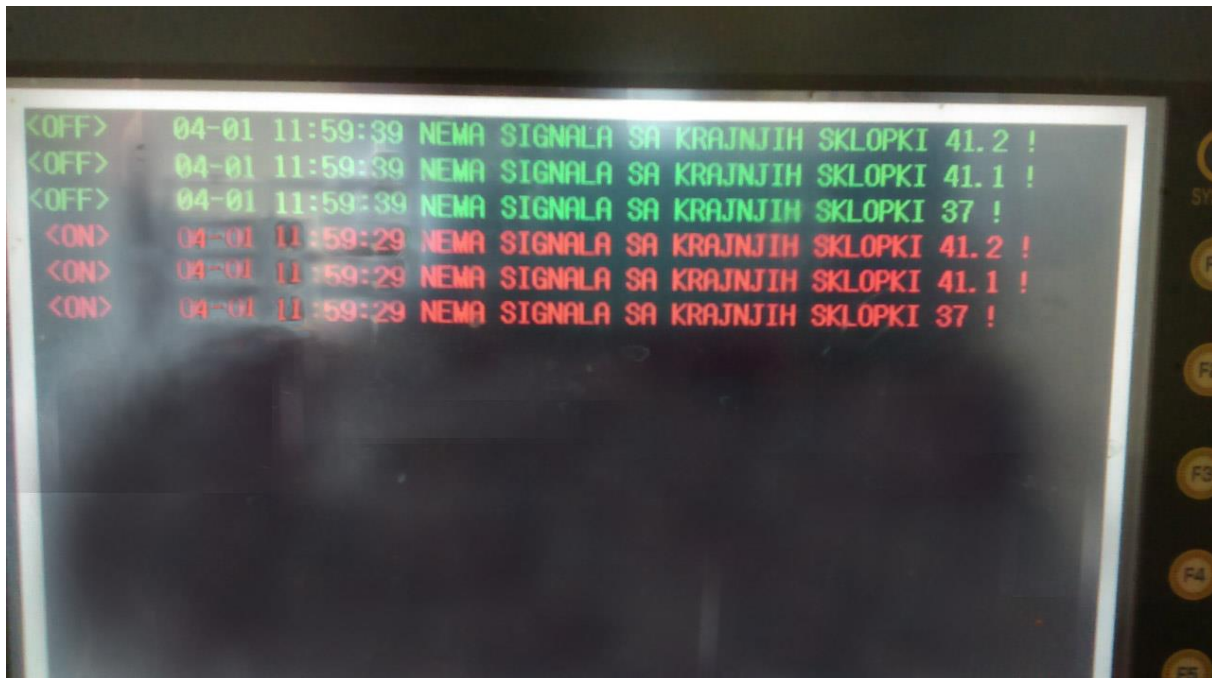
Slika 2.23. Prikaz motora broj 210 i 211 za pražnjenje čelija na zaslonu operatorskog panela
Siemens Hakko V710C

Tablica 2.7. prikazuje natpisnu pločicu motora za pražnjenje čelija.

Tablica 2.7. Natpisna pločica motora za pražnjenje čelija

Proizvodač:	KONČAR-MES
Vrsta stroja:	Asinkroni kavezni motor
Spoj :	zvijezda
Nazivna snaga:	5,5 kW
Nazivni napon:	400 V
Nazivna struja:	12,5 A
Faktor snage:	0,8
Frekvencija:	50 Hz
Brzina vrtnje:	1410 min ⁻¹

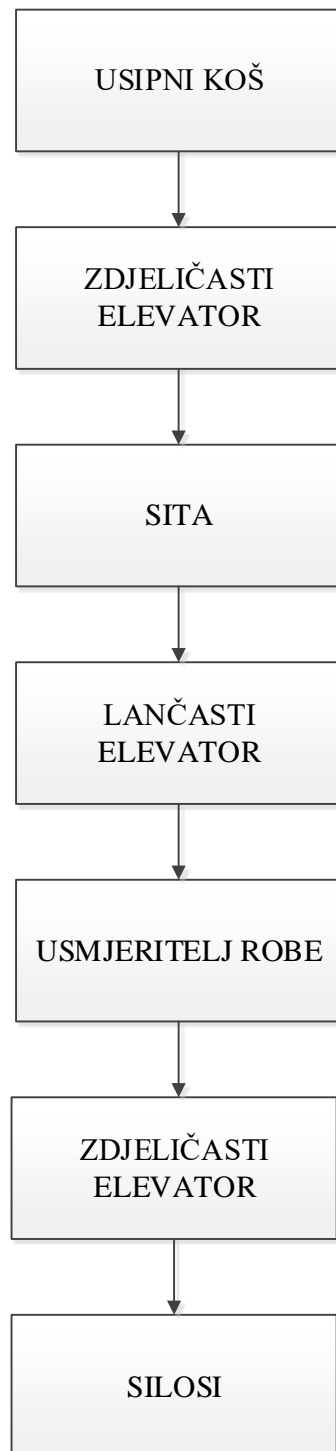
Za potrebe ovog diplomskog rada, simulirano je pogonsko stanje, a rezultati istog su vidljivi na slici 2.24. [4]. Možemo uočiti kako su na temelju rezultata, dobivena određena upozorenja koja su u istom trenutku i uspješno otklonjena.



Slika 2.24. Prikaz off-line metode nadzora na zaslonu operatorskog panela Siemens Hakko V710C

2.4. Blok dijagram procesa proizvodnje

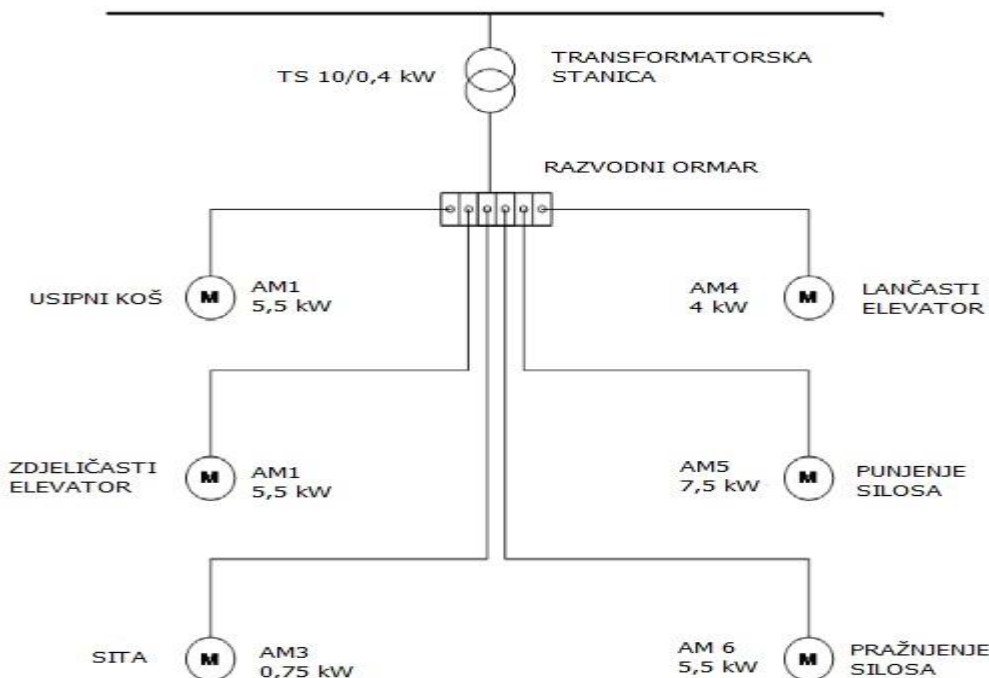
Na slici 2.25. nalazi se blok dijagram procesa proizvodnje, koji se sastoji od : usipnog koša, dva zdjeličasta elevatora, sita, lančastog elevatora, usmjeritelja robe te silosa. On prikazuje put materijala (u našem primjeru žitarica) od istovara robe do skladištenja iste u silose.



Slika 2.25. Blok dijagram procesa proizvodnje

2.5. Jednopolna shema pogona

Slika 2.26. prikazuje jednopolnu shemu pogona. Na njoj se vidi kako su motori različitih elemenata pogona (usipnog koša, lančastog elevatorsa, zdjeličastog elevatorsa, punjenja i pražnjenja silosa te sita) spojeni u razvodnom ormaru, koji se pak napaja iz transformatorske stanice 10/0,4 kV.

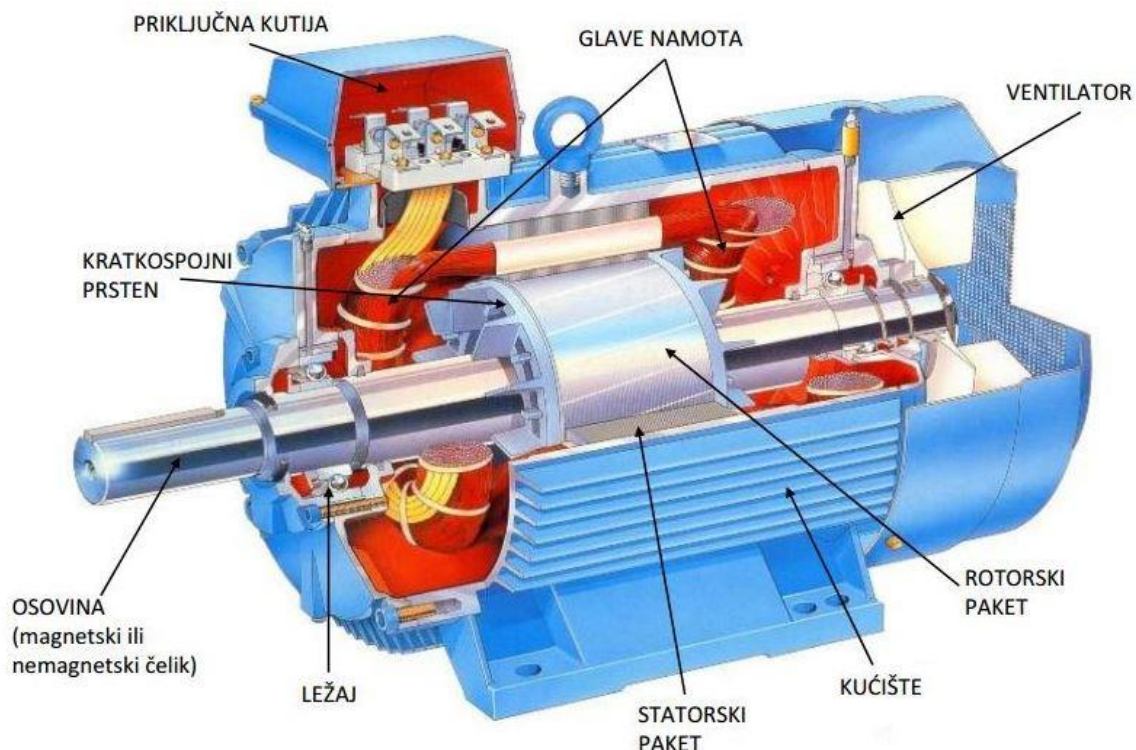


Slika 2.26. Jednopolna shema pogona

3. ASINKRONI KAVEZNI MOTOR

Prolaskom kroz prethodnu cjelinu ovoga rada, uočavamo kako su svi motori ovog pogona po svojoj vrsti i namjeni asinkroni kavezni motori. Oni se međusobno razlikuju prema načinu spajanja, te ostalim informacijama navedenim na natpisnim pločicama motora.

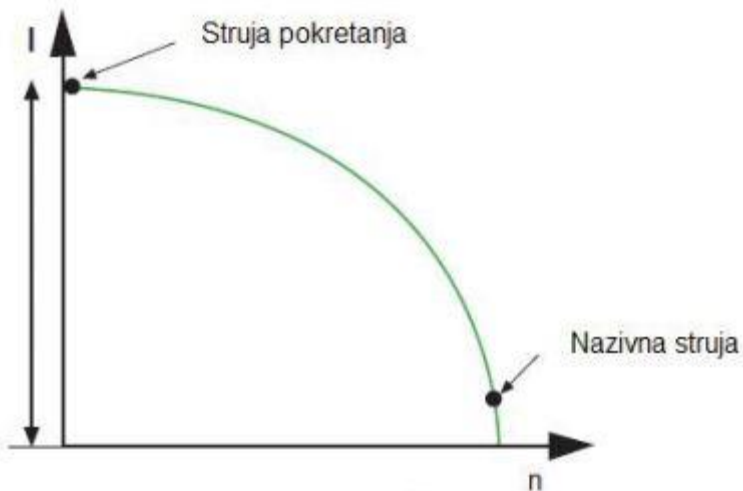
Asinkroni kavezni motori su motori koji se većinom izvode kao trofazni u industrijskoj proizvodnji. Zbog svoje jednostavnosti i niske cijene održavanja, vrlo su čest elektromotor u pogonima. Njihov bitan čimbenik je da brzina vrtnje rotora zaostaje za okretnim magnetskim poljem statora, a dva glavna dijela čine stator i rotor. Na slici 3.1. nalazi se presjek trofaznog asinkronog motora s kaveznim rotorom.



Slika 3.1. Presjek trofaznog asinkronog kaveznog motora

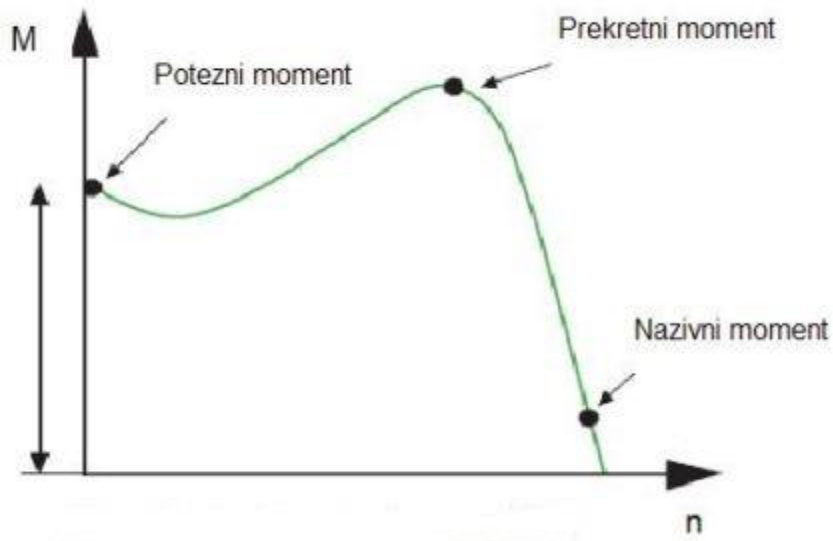
S promjenom tereta, varira mu brzina vrtnje kao i struja koju vuče iz mreže. Ukoliko dođe do mehaničkog preopterećenja, kavezni motor će reagirati usporavanjem, odnosno povećanjem klizanja, ali dolazi i do porasta vrijednosti struje. Upravo zbog porasta struje, pogon koji sadrži asinkrone motore mora imati i nadstrujnu zaštitu koja se najčešće izvodi bimetallima.

Povećanjem brzine vrtnje asinkronog kavezognog motora dolazi do smanjenja vrijednosti struje, što možemo vidjeti na slici 3.2.



Slika 3.2. Strujna karakteristika asinkronog kavezognog motora

Kod pokretanja, asinkroni kavezni motor iz mreže povuče i do 7 puta vrijednosti nazivne struje, što može imati za velike posljedice za motor, kao i za pogon. Momentna karakteristika kavezognog asinkronog motora vidljiva je na slici 3.3.



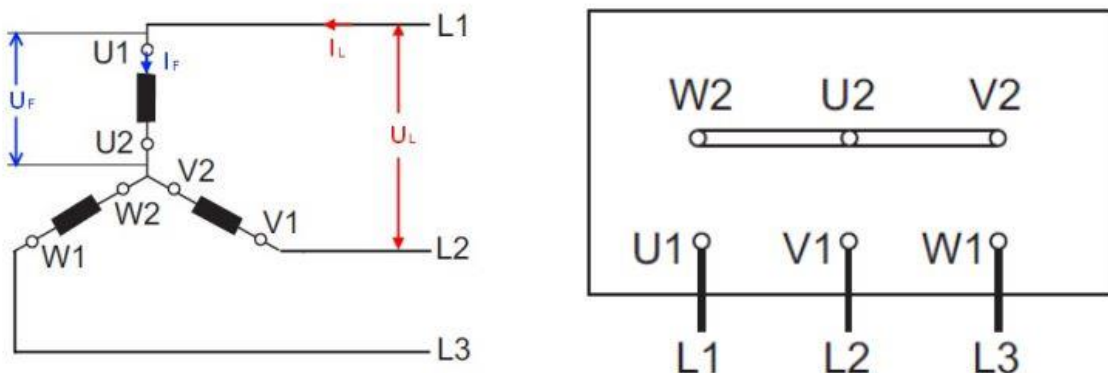
Slika 3.3. Momentna karakteristika kavezognog asinkronog motora

Na momentnoj karakteristici su točno označeni potezni, prekretni i nazivni moment.

Princip rada asinkronog kavezognog motora zasniva se na stvaranju okretnog magnetskog polja. Kada se uzbudni namoti, koji se međusobno pomaknuti za 120° kao i struje trofazne mreže, spoje u trokut ili zvijezdu priključuju se na trofaznu mrežu preko priključne kutije. Dolazi do pojave okretnog magnetskog polja koje izvire iz statorskih namota, rotira okomito na rotor, ulančuje vodiče rotorskog namota te ih presijeca, a potom se zatvara preko zračnog raspora. Okretno magnetsko polje presijeca vodiče rotorskog i statorskog namota te inducira trofazni sustav napona u namotima statora. Međutim, ukoliko dođe do postojanja relativne brzine između okretnog polja i rotora, inducirat će se naponi i u namotima rotora. Također, strujni krug rotorskog namota mora biti zatvoren da u rotoru asinkronog motora potekla struja.

Kao što smo već i rekli, asinkroni kavezni motori mogu biti spojeni u zvijezdu ili trokut, ovisno o potrebi i radu u postrojenju.

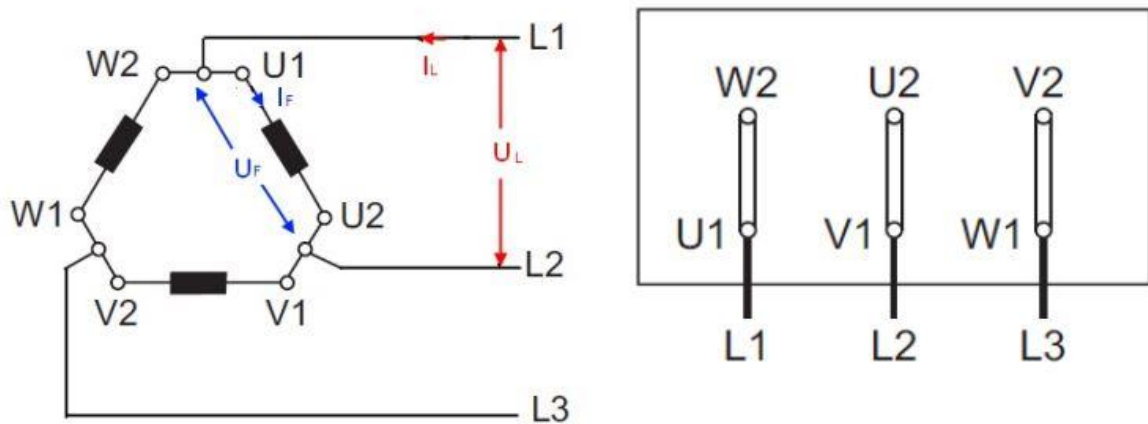
U spoju zvijezda su svi krajevi namota spojeni u jednu točku ili zvjezdiste, a početci na linijski napon. Kod ovakovog spoja je fazni napon manji za $\sqrt{3}$ u odnosu na linijski napon. Posljedica toga je da motor vuče tri puta manju struju. Za pokretanje jačih motora se koristi ovaj način spajanja. Kako je zvjezdiste na potencijalu 0 V, svaki namot dobiva faznu vrijednost napona (230 V). U ovom pogonu se koristi većinom asinkroni kavezni motori spojeni u zvijezdu. Način spajanja motora u zvijezdu je prikazan na slici 3.4.



Slika 3.4. Namoti motora i priključišta motora spojenog u zvijezdu

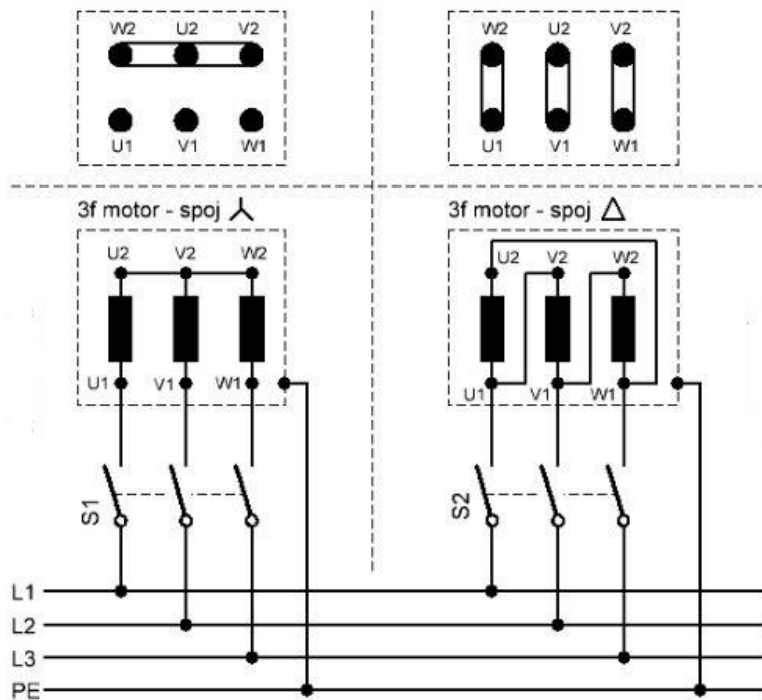
U spoju trokut su namoti spojeni serijski (kraj prvog s početkom drugog, kraj drugog s početkom trećeg i kraj trećeg s početkom prvog) dok se trofazni napon dovodi na spojne točke. Svaki namot je spojen na linijsku vrijednost napona (400 V). Struja koja teče kroz vod je $\sqrt{3}$ puta veća od fazne struje. U ovom pogonu je samo jedan asinkroni kavezni motor koji se spaja

u spoj trokut, a namjena mu je pokretanje sita za odvajanje prašine. Način spajanja motora u trokut je prikazan na slici 3.5.



Slika 3.5. Namoti motora i priključišta motora spojenog u trokut.

Položaj premosnica na kontaktima u spojnoj kutiji motora za oba načina spajanja vidljiv je na slici 3.6.



Slika 3.6. Položaj premosnica na kontaktima u spojnoj kutiji motora i shema spoja

4. TEHNIČKI OPIS POSTROJENJA

4.1. Napajanje električnom energijom

Napajanje električnom energijom glavnog NN razdjelnika silosa sa prijemom (=NRO1), izvodi se sa niskonaponskog razvoda stupne transformatorske stanice podzemnim kabelom PP00-A 4x150 mm². Glavni osigurači priključka niskonaponskog razvoda u trafostanici su 125 A.

Zaštita od indirektnog dodira je sistem nulovanja (TN-S), pa se traka sistema uzemljenja spaja na pogonsko uzemljenje trafostanice te na jednopotencijalne sabirnice i sabirnice za uzemljenje svih razvodnih ormara na objektu.

4.2. Razdjelnici

Razdjelnici su smješteni unutar objekta, te se izvode kao samostojeći ili nazidni ormar zaštite IP55. Sva električna oprema ugrađena u razvodni ormar odabrana je obzirom na nominalnu struju, stupanj zaštite i pogonsku sigurnost.

Uklopna i zaštitna elektrooprema smještena je unutar ormara, a signalni i upravljački elementi na njegovim vratima. Sva oprema unutar ormara je pristupačna i pregledno ugrađena te označena sa oznakama pozicije prema izvedbenoj dokumentaciji. Radne stezaljke u ormaru su točno označene brojkama. Kućište ormara je propisno uzemljeno i savitljivim vodom premošteno s vratima ormara.

4.3. Upravljanje i signalizacija

Za upravljanje elektromotornim pogonima silosa sa prijemom predviđa se programabilni logički kontroler. PLC je ugrađen u ormar =NRO1. Taj PLC bi služio za upravljanje transportom sirovina iz usipnog koša do silosa.

Vizualizacija i upravljanje elektromotornim pogonima silosa i prijema vrši se pomoću operativnog panela koji je ugrađen na vrata niskonaponskog razdjelnika (=NRO1) smještenog u komandnoj prostoriji.

4.4. Zaštita od indirektnog dodira

Prema HRN N.B2.741, zaštitni uređaj kojim se osigurava zaštita od indirektnog dodira strujnog kruga i opreme, u slučaju izolacijskog kvara između dijelova pod naponom i ostalih konstruktivnih metalnih dijelova kućišta, mora automatski isključiti napajanje strujnog kruga u takvom vremenu koje ne dozvoljava održavanje napona većeg od 50 V efektivne vrijednosti koji bi mogao predstavljati rizik od fiziološkog djelovanja na osobe u dodiru sa spomenutim dijelovima.

Impedancija strujnog kruga mora biti tako izabrana da u slučaju nastanka izolacionog kvara bilo gdje u instalaciji nastupi automatsko isključenje napajanja u utvrđenom vremenu.

Ovaj uvjet je zadovoljen ako je ispunjen uvjet [1] :

$$Z_s \cdot I_a \leq U_0 \quad (4-1)$$

gdje je :

Z_s – impedancija petlje kvara koja obuhvaća izbor, vodič pod naponom do točke kvara i zaštitni vodič između točke kvara i izvora.

I_a – a) priključnice, direktno bez priključnice ručne aparate klase I ili prenosive aparate – struja koja osigurava djelovanje zaštitnog uređaja za automatsko isključenje napajanja u vremenu $t = 0,4$ s za napon $U_o = 230$ V i $0,2$ s za napon 400 V.

b) napojni strujni krugovi ili krajnji strujni krugovi koji napajaju samo neprenosivu opremu kada su priključeni na rasklopni blok na koji nisu spojeni strujni krugovi koji zahtijevaju vremena isključenja $0,2$ s i $0,4$ s – vrijeme koje ne prelazi konvencionalnu vrijednost od 5 s.

U_0 – nazivni napon prema zemlji.

4.5. Zaštita od kratkog spoja i preopterećenja

Primjenjeni su slijedeći zaštitni uređaji:

- automatski instalacijski osigurači,
- motorske zaštitne sklopke s termomagnetskim okidačem.

4.6. Instalacija gromobrana i zaštitnog uzemljenja

U svrhu zaštite građevine i ljudi u njoj, od udara groma, na građevini je izvedena klasična gromobranska instalacija na principu Faradayevog kaveza. Oko cijele građevine izведен je zaštitni kavez koji se sastoji od hvataljki, odvodnih vodova i temeljnog uzemljivača.

Spojevi su izvedeni zavarivanjem. Ostale metalne mase u građevini su preko sustava zaštite od previsokog napona dodira povezane na gromobransku instalaciju. Ovim povezivanjem na zajedničko uzemljenje postiže se izjednačavanje potencijala.

4.7. Električna rasvjeta

Nadstrešnica usipnog koša osvjetljena je fluorescentnim svjetiljkama. Instalacija rasvjete i utičnica izvedene su nadžbukno, instalacijskim kabelima PP-Y položenim u plastične cijevi na odstojnim obujmicama.

Unutarnja rasvjeta komandne kućice kao i kućice kolske vase izvedena je nadgradnim svjetiljkama, dok je instalacija izvedena nadžbukno.

Strujni krugovi vanjske rasvjete silosa napajaju se iz ormarića =NRO1.

4.8. Zaštita od statičkog elektriciteta

Kako na više mjesta u strojnoj opremi dolazi do skupljanja električnih naboja odnosno pojave statičkog elektriciteta, poduzimaju se mjere za sprječavanje sakupljanja previsokog naboja i opasnosti od preskoka iskre te požara koji bi se pri tom mogao nastati.

Zbog toga svi metalni dijelovi moraju biti međusobno vodljivo (galvanski) povezani i spojeni na zajednički uzemljivač, odnosno na izvod iz temeljnog uzemljivača kako bi se ostvarilo izjednačavanje potencijala i odvod statičkog elektriciteta sa metalnih dijelova. U objektu su svi metalni dijelovi praktički međusobno povezani. Sva kućišta motora su uzemljena pa je ovim putem omogućen stalni odvod statičkog elektriciteta.

5. MJERENJA

5.1. Uloga mjerenja u pogonima

Mjerenja su vrlo važan proces pri puštanju postrojenja u pogon i nesmetanom radu istog. Mjerenjem različitih fizikalnih veličina uspoređujemo dobivene rezultate sa zakonsko utvrđenim dopuštenim graničnim vrijednostima. Dopuštene vrijednosti su unaprijed dobivene računskim putem od strane ovlaštenog mjeriteljskog subjekta. Važan segment početka rada nekog objekta su mjerenja kojima se dokazuje (ili opovrgava) ispravnost svih električnih instalacija, uzemljivača i slično. Pogon se ne smije pustiti u nesmetan rad sve dok ne zadovolji kriterije koji su postavljeni pred isti. Glavni cilj mjerenja i zadovoljavanja svih kriterija su zaštita ljudi koji u pogonu obavljaju svoj rad, te sigurnosti od požara. Osim elektrotehničkog dijela (mjerenja otpora uzemljenja, petlje uzemljenja, električnih instalacija, gromobranske zaštite), ulogu u mjerenju ima i građevinski dio (provjera nosivosti konstrukcija, projekt izgradnje pogona). U slučaju da se prilikom puštanja pogona u rad, ne zadovolje svi potrebni segmenti, izvođač radova je dužan napraviti preinake ili popravke istih kako bi se vrijednosti optimizirale s dopuštenim. Također, svakih godinu dana je ovlašteni mjeriteljski subjekt dužan provjeriti nalaze li se vrijednosti i dalje u intervalima dopuštenog. Slijedom različitih naprezanja prilikom rada pogona, nije rijetkost da se u pogonu prilikom pregleda moraju obaviti različite preinake. Međutim, većinom je tu riječ o nedovoljnoj zategnutosti pojedinih elemenata (utičnica, kabela, konstrukcijskih dijelova) čiji je uzrok vibrirajući uslijed rada pojedinog dijela pogona.

U ovom diplomskom radu, fokus će biti na mjerenjima koja su obavljena prilikom puštanja u rad pogona za sušenje žitarica OC Šljivoševci. Mjerenja je obavio ovlašteni mjeriteljski subjekt i biti će prikazana u ovoj cjelini, a dobivena su od tvrtke Žito d.o.o na privremeno korištenje radi pisanja ovog rada. Osim samih rezultata mjerenja, biti će prikazane i norme koje su korištene netom prije samog ispitivanja, korišteni mjerni instrumenti te stanja pogona zatečena u trenutku mjerenja.

5.2. Ispitivanje otpora uzemljenja u svrhu zaštite od statičkog elektriciteta

Opasnost od statičkog elektriciteta nastaje kada se na jednom mjestu skupi toliko nanelektriziranja da se preko iskre prazni te u granicama eksplozivnosti može zapaliti eksplozivne smjese plinova, pare i prašine ili eksplozivne materijale.

Pod odvodom nanelektriziranja podrazumijeva se postupak kojim se nanelektriziranje, koje je sakupljeno u opasnoj količini na određenom mjestu, odvodi bez pojave iskrenja pri čemu se nanelektrizirano tijelo dovodi u neutralno stanje

U cilju sprječavanja skupljanja statičkog elektriciteta poduzete su mjere kao što su:

- uzemljenje,
- održavanje odgovarajuće vlage u zraku,
- ionizacija zraka,
- antistatička preparacija,
- povećanje vodljivosti loše vodljivih materijala,
- odvođenje statičkog elektriciteta influencijom.

Uzemljenje se mora primjenjivati na svim vodljivim dijelovima strojeva ili uređaja, bez obzira da li se upotrebljavaju i druge mjere od statičkog elektriciteta.

Uzemljenje se izvodi galvanskim vezivanjem svih vodljivih dijelova postrojenja na uzemljivač.

Mjerenja u vezi uzemljenja pogona sastoje se u postavljanju metalne elektrode u pogodnoj točki na određenoj dubini ispod površine zemlje, te spajanju elektroda pomoću metalnih vodiča sa električnim instalacijama u točki u kojoj se želi obaviti određeno mjerjenje.

Uzemljenje bi zapravo bio kontakt uzemljivača sa nanelektriziranim zemljom, a definira se preko otpora uzemljenja.

Otpor uzemljenja se sastoji od :

- otpora metalnog spoja na elektrodi uzemljenja,
- otpora dodira između elektrode uzemljenja i najbližeg sloja zemljišta,
- otpora mase zemljišta (otpor rasprostiranja).

Otpor rasprostiranja uzemljivača se definira kao otpor zemlje između uzemljivača i zemlje, kod koja je udaljena od uzemljivača toliko da se između određenih točaka na tom dijelu ne pojavljuju velike razlike potencijala.

Otpor uzemljenja je zbroj otpora rasprostiranja i otpora zemljovoda.

Uzemljivač je vodič koji se postavlja u zemlju te je s istom u dobroj vodljivoj vezi.

Otpor uzemljenja dugog trakastog uzemljivača se može prikazati formulom [7]:

$$R_f = \frac{\rho}{\pi \cdot L} \cdot \ln \frac{2 \cdot L}{d}, \quad (5-1)$$

gdje je : ρ – specifični otpor tla,

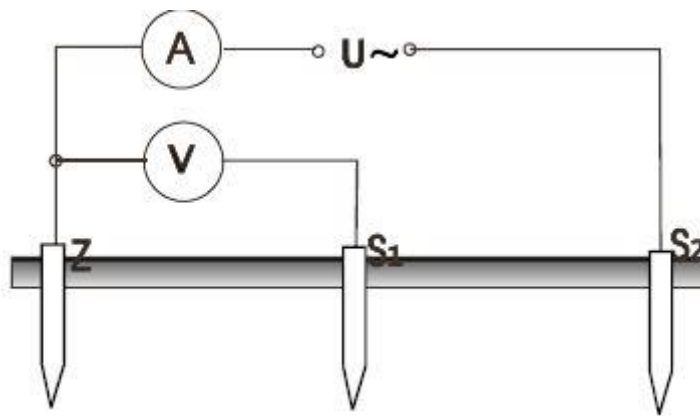
L – duljina trake (duljina ugrađenog temeljnog uzemljivača iznosi oko 130 m),

d – ekvivalentan promjer.

Uzemljenjem se moraju ispuniti idući zadaci :

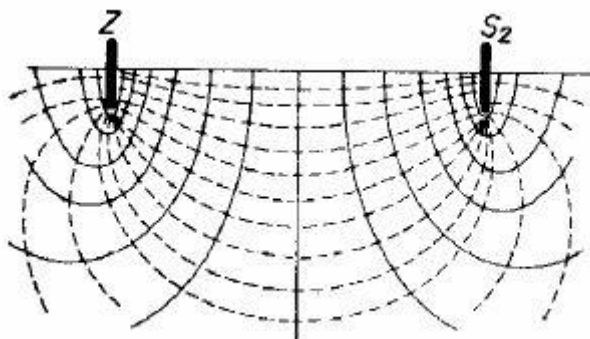
- osigurati nesmetan rad električnih instalacija (pogonsko uzemljenje),
- osigurati zaštitu za život ljudi od napona dodira i koraka (zaštitno uzemljenje),
- pražnjenje prenapona (gromobransko uzemljenje).

Prema propisima o zaštiti pogona i ljudi koji rade u njima, sva kućišta u kojima se nalaze električna oprema moraju biti uzemljenja. Otpor uzemljenja se mjeri nakon izvođenja uzemljenja, te nakon što se utvrdi služi li izvedeno uzemljenje svojoj svrsi. Na slici 5.1. možemo vidjeti tri uzemljivača (Z , S_1 , S_2). Kada se na njih narine napon, kao u ovom slučaju, između uzemljivača će poteći struja.



Slika 5.1. Mjerenje otpora uzemljenja U-I metodom

Struja će izlaziti iz uzemljivača u svim smjerovima, rasprostire se po svojoj okolini te na kraju i sjedinjuje. U neposrednoj blizini uzemljivača, struja raspolaže malim presjekom, pa prema tome mora savladati veliki otpor, te onda dolazi i do velikog pada napona. S druge strane, između uzemljivača struja će savladavati mali otpor jer dolazi do velikog presjeka, pa prema tome nema velikih padova napona. (Slika 5.2.) [8]. Poprečne isprekidane linije prikazuju ekvipotencijalne plohe.



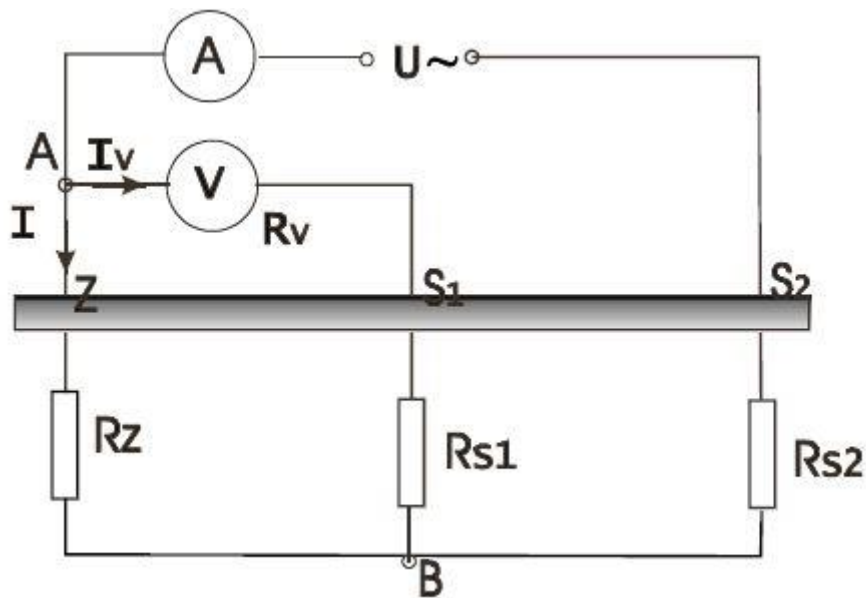
Slika 5.2. Rasprostiranje struje na okolinu

Raspodjela napona unutar uzemljivača može se mjeriti voltmetrom velikog unutrašnjeg otpora. Upravo zbog toga se na slici 5.1. može vidjeti kako se voltmetar priključuje na uzemljivač Z s jednom stezalkom, dok s drugom na mjerni uzemljivač S_1 .

Kod mjerjenja otpora uzemljenja mjeri se otpor između uzemljivača i okolne zemlje izvan potencijalnog lijevka. Sav otpor uzemljenja uzemljivača je koncentrirat unutar zaporne plohe, tj. u blizini uzemljivača. Otpor uzemljenja mjerimo tako da mjerimo otpor između kontroliranog uzemljivača i pomoćnog uzemljivača kojeg postavljamo.

Posljednji uzemljivač mora biti udaljen minimalno za dvostruki polumjer naponskog lijevka (kod malih uzemljivača barem 10 metara) [8]. Otpor uzemljenja treba mjeriti isključivo izmjeničnom strujom, zbog toga što kod istosmjerne struje dolazi do polarizacijskih pojava koje ometaju mjerjenja.

Kod U-I metode, ampermetrom se mjeri struja koja teče kroz uzemljivače, a voltmetrom napon između uzemljivača i zemlje (Slika 5.3.).



Slika 5.3. Nadomjesna shema mjerjenja otpora uzemljenja

Ovisno o priključenju sonde i uzemljivača, mjerimo napone U_{zs2} ili U_{zs1} . Kako nam je struje koja teče kroz uzemljivače unaprijed poznata, otpor uzemljivača računamo preko Ohmovog zakona :

Otpor uzemljivača R_z [9]:

$$R_z = \frac{U_{zs1}}{I} . \quad (5-2)$$

Otpor uzemljivača R_{s2} [9] :

$$R_{s2} = \frac{U_{zs2}}{I} . \quad (5-3)$$

Kod ovakvih mjerjenja koriste se voltmetri s velikim ulaznim otporom [7].

Otpor uzemljenja računa se ovisno o vrsti uzemljivača. Tako su u tablici 5.1. prikazane jednadžbe i veličine ovisne za računanje otpora uzemljenja.

Tablica 5.1. Jednadžbe za računanje otpora uzemljenja ovisno o vrsti uzemljivača

VRSTA UZEMLJIVAČA	JEDNADŽBA	
TRAKASTI	$R_r = \frac{\rho}{\pi \cdot L} \cdot \ln \frac{2 \cdot L}{d}$	
CIJEVNI	$R_r = \frac{\rho}{\pi \cdot L} \cdot \ln \frac{2 \cdot L}{d}$	
PRSTENASTI	$R_p = \frac{2 \cdot \rho_z}{3 \cdot D}$	$D = 1,13 \cdot \sqrt{F}$

gdje su : R_p – otpor uzemljenja (Ω),

ρ_z – specifični otpor tla (Ωm),

L – duljina uzemljivača (m),

D – promjer prstenastog uzemljivača (m),

F – površina koju omeđuje prstenasti uzemljivač (m^2),

d – ekvivalentni promjer (m).

Provedeno mjerjenje U-I metodom te opis iste prikazan je u tablici 5.2.

Tablica 5.2. Ispitivanje otpora uzemljenja u svrhu zaštite od statičkog elektriciteta

MJERNA METODA	U-I METODA
MJERNI INSTRUMENTI	<ul style="list-style-type: none"> -višenamjenski mjerni instrument za mjerjenje električnih veličina. Proizvođač : „METREL“, tip : EUROTET 61557, serijski broj 13069775 -termohigrobarometar proizvođača : „LUTRON“, tip : PHB-318, tv. Broj 060-13,
OPĆE MJERE ZAŠTITE OD STATIČKOG ELEKTRICITETA	<ul style="list-style-type: none"> -Uzemljenjem -Izjednačavanjem potencijala



Slika 5.4. Mjerni instrument za mjerjenje električnih veličina „METREL“



Slika 5.5. Display mjernog instrumenta „METREL“

Metrel je multifunkcionalni digitalni instrument za provjeru ispravnosti i sigurnosti niskonaponskih elektroinstalacija (standard EN 611557), odobren za Republiku Hrvatsku [9].

Pomoću ovog mjernog instrumenta mogu se obaviti sljedeća mjerena :

- mjerena snage i potrošnje energije, više harmonike struje i napona, faznog kuta, frekvencije, kontrolnog napona, praćenje podzemnih/podžbuknih instalacija, lociranje osigurača, mjerena struja do 200 A pomoću kliješta, mjerena struja odvoda TRMS od 0,2 mA, mjerena otpora pomoću malih struja,
- mjerena sustava uzemljenja i gromobranskih sustava, uključujući i metodu dvaju kliješta (bez odspajanja križnih spojeva),
- određivanje redoslijeda faza u trofaznim sustavima,
- ispitivanje varistora, mjerena osvijetljenost uz sondu,
- ispitivanje FID sklopke (vrijeme i struje isklapanja), automatski test FID sklopke,
- mjerena impedancija kratkospojne petlje i petlje u kvaru bez isklapanja FID sklopke
mjerena neprekinitost zaštitnog vodiča,
- mjerena otpora izolacije istosmjernim naponom do 1000 V.



Slika 5.6. Termohigrobarometar „LUTRON“

Lutron je mjerni instrument kojim se mijere vrijednosti temperature okoline i udio vlage u zrake [10].

Rezultati dobiveni ovim alatom koriste se kod mjerena ispitivanja otpora uzemljenja u svrhu zaštite od statičkog elektriciteta.

Tablica 5.3. prikazuje rezultate mjerena ispitivanja otpora uzemljenja na šest različitih točaka unutar pogona silosa. Izmjerene vrijednosti su unutar dozvoljenih granica.

Tablica 5.3. Rezultati mjerena ispitivanja otpora uzemljenja

RB	MJESTO MJERENJA	OTPOR UZEMLJENJA (IZMJERENA PROSJEČNA VRIJEDNOST)	OTPOR UZEMLJENJA (DOZVOLJEN)
1.	SILOS	2,15 Ω	20 Ω
2.	SILOS	2,19 Ω	20 Ω
3.	SILOS	2,18 Ω	20 Ω
4.	SILOS	2,15 Ω	20 Ω
5.	SILOS	2,15 Ω	20 Ω
6.	SILOS	2,19 Ω	20 Ω

Vanjski uvjeti : Relativna vlažnost : 49 %,

Temperatura : 23 °C,

Vlažnost tla : suho.

5.3. Vizualni pregled sustava zaštite od munje

Osim vizualnog pregleda sustava zaštite od munje, provedeno mjerjenje U-I metodom i podaci u uzemljivaču prikazani su u tablici 5.4.

Tablica 5.4. Podaci o uzemljivaču i mjerenu

PODACI O UZEMLJIVAČU	Fe/Zn traka, 25 x 4 mm Fe/Zn traka, 30 x 4 mm Fe/Zn traka, 40 x 4 mm
MJERNA METODA	-U-I metoda -pomoću višenamjenskog instrumenta za ispitivanje s direktnim čitanjem
MJERNI INSTRUMENTI	-višenamjensko mjerilo: „METRAWATT“, tip : PROFITEST 0100S-II, serijski broj RB0064



Slika 5.7. Višenamjenski instrument „METRAWATT“

Metrawatt [11] je višenamjenski instrument pomoću kojeg se mogu izvesti sljedeća mjerenja :

- mjerena napon, frekvencije, struje,
- mjerena struje kratkog spoja, nadstrujne zaštite uređaja,
- mjerene otpora petlja i impedancija,
- otpor uzemljivača, izolacijski otpor,
- indikator redoslijeda faza,
- temperatura i vlažnost zraka.

Ukupno mjerene otpore rasprostiranja uzemljivača provedeno je na 28 različitim mjernih mjestu u pogonu silosa, a prikazano je tablicom 5.5.. Izmjerene vrijednosti su unutar dozvoljenih granica.

Tablica 5.5. Mjerenje otpora rasprostiranja uzemljivača

REDNI BROJ	MJERNO MJESTO	IZMJERENI OTPOR RASPROSTIRANJA R_{IZ} (Ω)	DOZVOLJENI OTPOR RASPROSTIRANJA R_{DOP} (Ω)
SILOS SA SUŠAROM			
1.	Mjerno mjesto 1	0,67	20
2.	Mjerno mjesto 2	0,81	20
3.	Mjerno mjesto 3	0,90	20
4.	Mjerno mjesto 4	0,74	20
5.	Mjerno mjesto 5	0,68	20
6.	Mjerno mjesto 6	0,85	20
7.	Mjerno mjesto 7	0,81	20
8.	Mjerno mjesto 8	0,83	20
9.	Mjerno mjesto 9	0,78	20
10.	Mjerno mjesto 10	0,87	20
11.	Mjerno mjesto 11	0,90	20
12.	Mjerno mjesto 12	0,71	20
13.	Mjerno mjesto 13	0,65	20
14.	Mjerno mjesto 14	0,75	20
15.	Mjerno mjesto 15	0,95	20
16.	Mjerno mjesto 16	0,81	20
17.	Mjerno mjesto 17	0,83	20
18.	Mjerno mjesto 18	0,87	20
19.	Mjerno mjesto 19	0,79	20
20.	Mjerno mjesto 20	0,49	20
21.	Mjerno mjesto 21	0,27	20
22.	Mjerno mjesto 22	0,28	20
23.	Mjerno mjesto 23	1,11	20
24.	Mjerno mjesto 24	1,12	20
25.	Mjerno mjesto 25	0,99	20
26.	Mjerno mjesto 26	13,46	20

27.	Mjerno mjesto 27	0,25	20
28.	Mjerno mjesto 28	0,78	20

Osnovne informacije o uzemljivaču prikazani su tablicom 5.6., dok tablice 5.7. i 5.8. sadrže tehničke informacije o hvataljkama, odvodima te odvodnicima struje munje i prenapona.

Tablica 5.6. Ispitivanje stanja uzemljivača otkopavanjem na karakterističnom mjestu

UZEMLJIVAČ	
VRSTA	A i B
MATERIJAL	Fe/Zn traka 25 x 4 mm, 30 x 4 mm, 40 x 4 mm
POHRĐAN	Ne
STANJE	zadovoljava

Tablica 5.7. Stanje vanjskog sustava zaštite od munje

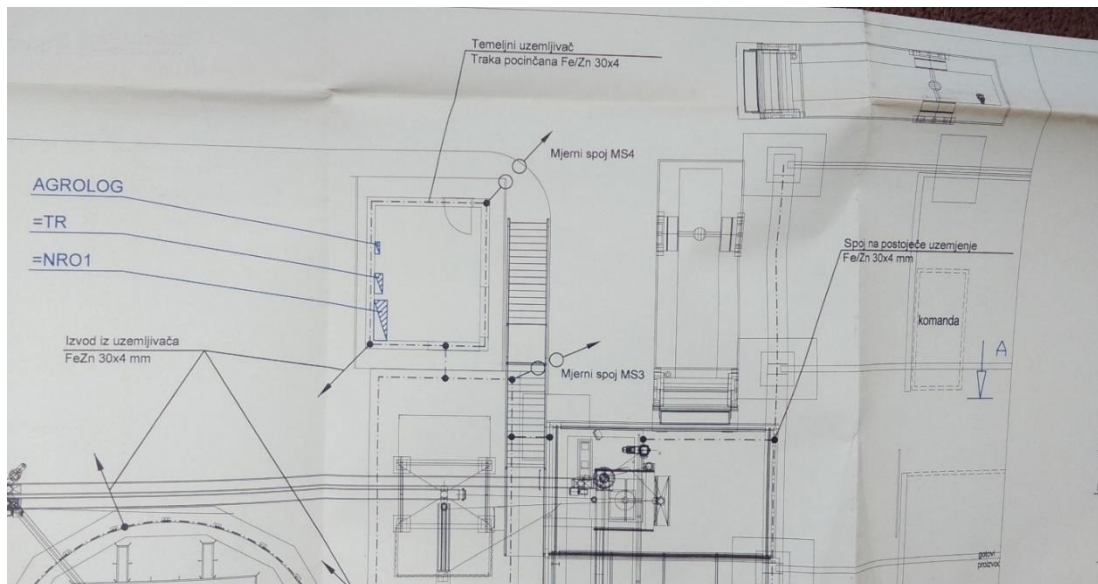
HVATALJKE	
VRSTA HVATALJKI	Štapne hvataljke; pokrov objekata (aluminijski lim, željezni lim, čelična konstrukcija)
MATERIJAL HVATALJKI	FeZn lim, Al lim FeZn traka 20 x 3 mm Čelična konstrukcija
STANJE VODIČA	Zadovoljava
STANJE SPOJEVA	Zadovoljava
ODVODI	
MATERIJAL ODVODA	FeZn lim FeZn traka 20 x 3 mm FeZn traka 25 x 4 mm Čelična konstrukcija
STANJE VODIČA	Zadovoljava

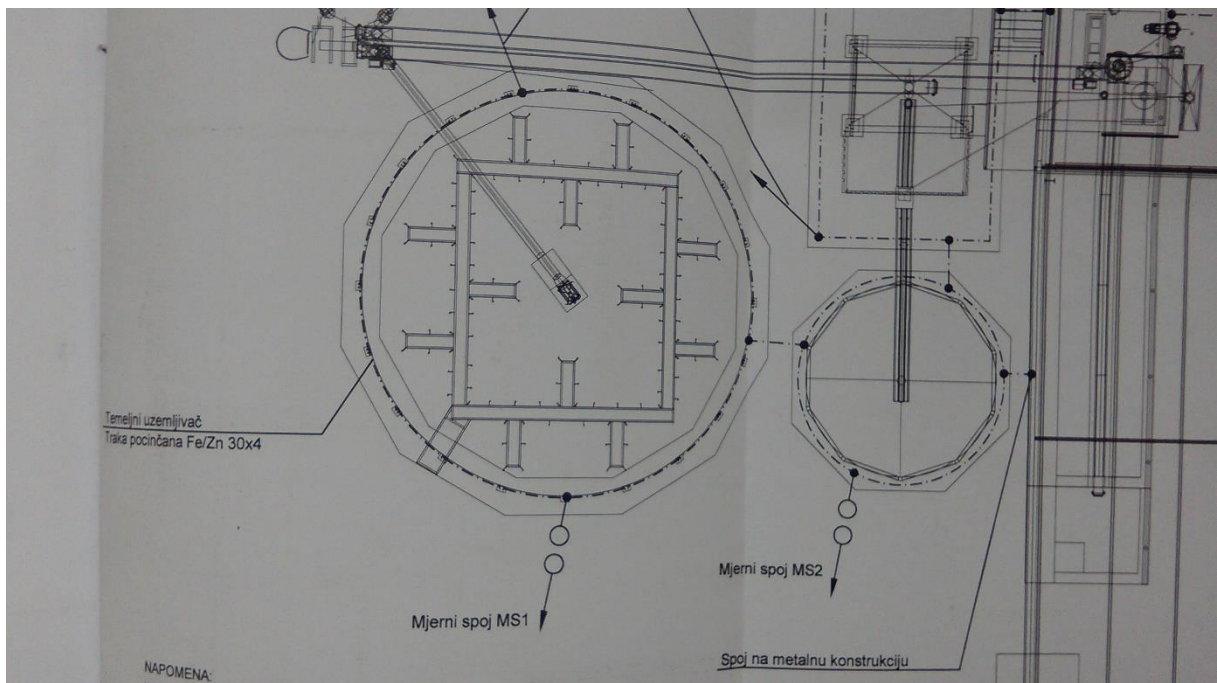
STANJE MEHANIČKE ZAŠTITE VODIČA	Zadovoljava
STANJE SPOJEVA	zadovoljava

Tablica 5.8. Stanje unutarnjeg sustava zaštite od munje

ODVODNICI STRUJE MUNJE I PRENAPONA	
Odvodnici prenapona postoje na : Silos sa sušarom, podno skladište Proizvođač : Schrak Tip : VVP 255	
Tehnički podaci : $I_n = 15 \text{ kA}$; $I_m = 30 \text{ kA}$; $U_c = 255 \text{ V}$; $U_p = 1300 \text{ V}$ (4 kom.)	Zadovoljava
STANJE ODVODNIKA NA ELEKTROENERGETSKOM KABELU	Zadovoljava
STANJE ODVODNIKA NA TELEKOMUNIKACIJSKOM KABELU	Zadovoljava

Položaj temeljnih uzemljivača biti će prikazan dvjema slikama (5.8. i 5.9.), kako bi se detaljnije moglo vidjeti njihov smještaj u odnosu na pogon. [1]

**Slika 5.8.** Tlocrt temeljnog uzemljivača I



Slika 5.9. Tlocrt temeljnog uzemljivača II

5.4. Ispitivanje električne instalacije

Pregledom električne instalacije u beznaponskom stanju obuhvaćeni su:

- zaštita od električnog udara,
- zaštita od širenja vatre i od toplinskih utjecaja,
- izbor uređaja za zaštitu i nadzor,
- ispravnost postavljanja sklopnih uređaja obzirom na rastavne razmake,
- izbor opreme i zaštitnih mjera prema vanjskim utjecajima,
- raspoznavanje neutralnog i zaštitnog vodiča,
- postojanje jednopolnih shema i pločica upozorenja,
- raspoznavanje strujnih krugova, aparata i opreme,
- spajanje vodiča,
- pristupačnost za rad i održavanje.

Ispitivanje instalacije pod naponom obuhvaćeno je mjerenjem :

- ispitivanjem i mjeranjem zaštite od indirektnog napona dodira,
- ispitivanje otpora petlje prekostrujne zaštite.

Zaštita električnih instalacija zasnovana je na automatskom izbacivanju sklopki odspajanjem mrežnog napona. Kod TN sistema instalacija, svi metalni dijelovi su povezani nul-vodičem N preko zaštitnog vodiča PE, te sa zaštitnim uzemljenjem transformatora.

Kod TT sistema su svi metalni dijelovi povezani sa osnovnim sistemom uzemljenja preko PE zaštitnog uzemljivača.

Ispravnost instalacija se kontrolira mjerenjem otpora uzemljenja R_p pomoću dvožilne, trožilne ili četverožilne metode strujnih kliješti.

5.5. Mjerenje otpora petlje kvara

U slučaju kratkog spoja između faznog vodiča L i metalnih dijelova električnih aparata, poteče struja kroz petlju u kvaru i nadstrujna zaštita će se aktivirati.

Mjerenje impedancije petlje u kvaru u TN sistemima vrši se sa mrežnim naponom, koji je ujedno i ispitni.

Na mjernom uređaju Metrel Eurotest 61557 provodi se mjerenje idućim koracima :

- odabirom mjernog pribora (ispitnih pipalica),
- na zaslonu ekrana se pronađe položaj Z_{Loop} te se mjeri impedancija petlje u kvaru,
- izabire se početni polaritet mjerne struje s tipkom POL (F1),
- mjerne vezice se spajaju na mjerne točke,
- početak mjerenja s tipkom START.

Informacije o mjerenuj impedanciju petlje kvara izvedeno je U-I metodom, a osnovne informacije o istom su prikazani u tablici 5.9.

Tablica 5.9. Mjerenja impedancije petlje kvara

MJERNA METODA	Mjerenje impedancije petlje kvara, U-I metodom
SUSTAV MREŽE	TN – C/S
NAZIVNI NAPON	3 x 400/230 V ; 50 Hz
DOZVOLJENI NAPON DODIRA	50 V
NADSTRUJNI ZAŠTITNI UREĐAJ	Automatski prekidači B i C karakteristike
MJERNI INSTRUMENT	Mjerni uređaj METREL EUROTTEST 61557

6. PRORAČUNI

6.1. Svrha proračuna

Vezano uz izbor zaštite potrošača od previsokog napona dodira, izbor osigurača za zaštitu niskonaponskih strujnih krugova, te za kontrolu pada napona. Ovim proračunima bit će izračunate minimalne struje kratkog spoja, maksimalne struje kratkog spoja, kao i padovi napona.

6.2. Proračun struja kratkog spoja

Zbog kontrole izbora električnih naprava i dimenzioniranja postrojenja, računamo maksimalnu struju kratkog spoja, a zbog kontrole djelovanja zaštitnih uređaja i minimalnu struju. Zbog kontrole mehaničkih naprezanja računa se udarna struja kratkog spoja.

Maksimalnu struju kratkog spoja računamo prema formuli :

- Tropolni kratki spoj [8] :

$$I_{K3} = \frac{1,05 \cdot U_n}{\sqrt{3} \cdot \sqrt{R^2 + X^2}} . \quad (6-1)$$

- Jednopolni kratki spoj [8] :

$$I_{K1} = \frac{1,05 \cdot \sqrt{3} \cdot U_n}{\sqrt{(2R + R_0)^2 + (2X + X_0)^2}} . \quad (6-2)$$

Minimalnu struju kratkog spoja računamo prema formuli :

- Dvopolni kratki spoj [8] :

$$I_{K2} = \frac{0,95 \cdot U_n}{2 \cdot \sqrt{R^2 + X^2}} . \quad (6-3)$$

- Jednopolni kratki spoj [8] :

$$I_{K1} = \frac{0,95 \cdot \sqrt{3} \cdot U_n}{\sqrt{(2R + R_0)^2 + (2X + X_0)^2}} . \quad (6-4)$$

- Udarna struja kratkog spoja računa se prema formuli [8] : $I_u = k \cdot \sqrt{2} \cdot I_k$ (6-5)

gdje je : U_n - nazivni napon (V)

R - radni otpor (Ω)

X - reaktancija (Ω)

I_u - udarna struja (A)

k – kapa (konst.)

I_k - struja kratkog spoja (A)

6.3. Zaštita vodova od preopterećenja

Prema normi HRN.B2.743/86 za zaštitu električnih kabela od preopterećenja trebaju biti ispunjeni slijedeći uvjeti [7] :

$$I_2 \leq 1,45 \cdot I_n \quad (6-6)$$

$$I_B \leq I_n \leq I_Z \quad (6-7)$$

gdje su : I_2 – proradna struja zaštitnog uređaja,

I_n – nazivna struja zaštitnog uređaja,

I_z – trajna struja vodiča (kabela),

I_B – struja za koju je strujni krug projektiran.

6.4. Proračun pada napona

Prema odredbi tehničkih propisa za izvođenje elektroenergetskih instalacija u zgradama pad napona od trafostanice do zadnje svjetiljke ne smije biti veća od 5 %. Pad napona od transformatora do zadnjeg motora ne smije biti veće od 7 %, a pri pokretanju od 10 %.

Pad napona računamo prema izrazu [7] :

$$U = \frac{P \cdot l}{10 \cdot U_n} \cdot (R + X \cdot \tan \varphi) \text{ V na kraju voda u voltima} \quad (6-8)$$

$$u = \frac{U}{U_n} \cdot 100 \% \text{pad napona u postotcima} \quad (6-9)$$

$$U = \frac{u \cdot U_n}{100} \text{ V} \dots \text{ pad naponu u voltima} \quad (6-10)$$

Proračun pada naponu se računa na kraju voda, uz pretpostavku da su kabeli zagrijani na maksimalnu radnu temperaturu.

6.5. Proračun efikasnosti zaštite od indirektnog dodira

Prema normi HRN N.B2.741 nastupit će automatsko isključenje napajanja oštećenog strujnog kruga, te neće doći do pojave opasnih naponi dodira ako je ispunjen uvjet [7] :

$$Z_s < \frac{U_0}{I_a} . \quad (6-11)$$

Računsku provjeru impedancije petlje provest ćemo za karakteristične strujne krugove. Impedancija petlje kvara računa se prema formuli [7] :

$$Z_s = \sqrt{R^2 + X^2} . \quad (6-12)$$

Otpor petlje kvara se računa pri najnepogodnjim uvjetima glede zagrijanosti vodiča.

6.6. Proračun vršne snage i vršne struje

a) Snaga NN razdjelnika :

$$P_{\text{inst}} = 50,15 \text{ kW} - \text{instalirana snaga razdjelnika} = \text{NRO1}$$

$$P_{\text{vr}} = 43,45 \text{ kW} - \text{vršna snaga razdjelnika} = \text{NRO1}$$

b) Vršna snaga :

Vršna snaga uz faktor snage $\cos \varphi = 0,95$ iznosi [7] :

$$I_v = \frac{P_v}{\sqrt{3} \cdot U \cdot \cos \varphi} . \quad (6-13)$$

$$I_{\text{vr},=\text{NRO1}} = 66,02 \text{ A} - \text{vršna struja razdjelnika} = \text{NRO1}$$

Napajanje električnom energijom NN razdjelnika = NRO1 izvedeno je iz stupne transformatorske stanice energetskim kabelom PP00-A 4 x 150 mm².

Glavni napojni vod položen u zemlju je trajno opteretiv s $I_B = 275 \text{ A}$. Uz ukupan faktor strujnog opterećenja kabela $f = 0,8$, slijedi da je dozvoljena struja :

$$I_R = 275 \cdot 0,8 = 220 \text{ A}.$$

Budući da je $220 \text{ A} > 66,02 \text{ A}$ vidimo da je kabel ispravno odabranim, s tim da I_z zaštitnog uređaja po kabelu treba biti $< 220 \text{ A}$.

6.7. Otpor kabela

Omski otpor kabela računamo za temperaturu okoline 40°C po formuli [7] :

$$R_t = R_{20} \cdot [1 + 0,004 \cdot (t - 20)] = 1,08 \cdot R_{20}, \quad (6-14)$$

U trafostanici je ugrađen transformator 10(20)/0,4 kV snage 160 kVA :

Podaci transformatora su :

-gubici tereta $P_{Cu} = 2,35 \text{ kW}$

-induktivni pad napona (%) $u_x = 3,72\%$

Radni otpor transformatora po fazi [8] :

$$R_t = \frac{P_{Cu}}{3 \cdot I_n^2} = \frac{P_{Cu}}{3 \cdot \left(\frac{P_n}{\sqrt{3} \cdot U_n} \right)^2} = \frac{2,35 \cdot 10^3}{3 \cdot \left(\frac{160}{\sqrt{3} \cdot 0,4} \right)^2} = 14,7 \text{ m}\Omega/\text{fazi}. \quad (6-15)$$

Induktivni otpor transformatora po fazi [8] :

$$X_t = \frac{u_x \cdot U_n^2}{100 \cdot P_n} = \frac{3,72 \cdot 0,4^2}{100 \cdot 0,16} = 37,2 \text{ m}\Omega/\text{fazi}. \quad (6-16)$$

6.8. Otpor zaštitnog uzemljenja

Za zaštitno uzemljenje upotrijebljena je traka Fe/Zn 30 x 4 mm položena u temelj hale i novih silosa ispod hidroizolacije. Proračun otpora uzemljivača izvodi se uz prepostavljeni specifični otpor tla $\rho = 200 \Omega\text{m}$.

Za trakaste uzemljivače otpor rasprostiranja uzemljivača iznosi [7] :

$$R_r = \frac{\rho}{\pi \cdot L} \cdot \ln \frac{2 \cdot L}{d} \quad (6-17)$$

gdje je : ρ – specifični otpor tla,

L – duljina trake (duljina ugrađenog temeljnog uzemljivača iznosi oko 130 m),

d – ekvivalentan promjer.

Otpor rasprostiranja uzemljivača :

$$R_r = 2,04 \Omega$$

Udarni otpor rasprostiranja, mjerodavan za proračun zaštitnog uzemljenja iznosi [8] :

$$R_u = 1,3 \cdot R_r \quad (6-18)$$

za specifični otpor tla $\rho=200 \Omega\text{m}$ i dužinu veću od 40m.

$$R_u = 2,7 \Omega$$

Prema HRN normama udarni otpor rasprostiranja treba biti manji od 20Ω , kako bi se uzemljivač mogao koristiti za zaštitno uzemljenje. Kao što je vidljivo, taj uvjet je zadovoljen u našem slučaju.

7. SHEME ELEKTROMOTORNOG POGONA

7.1. Funkcija razvodnih ormara

Komandno razvodni ormari služi za razvod električne energije u postrojenjima. Razvod se ostvaruje pomoću izoliranih i rastavnih pruga koje se ugrađuju na sustav sabirnica. Razdjelnice instalacija u postrojenjima razlikuju se od razdjelnica kućnih instalacija po veličini, obliku, materijalu izrade, opremljenosti i funkciji. Ovisno koji će se dio uzimati u obzir od navedenih parametara, veliku ulogu imaju vrsta, karakter i režim rada trošila, uvjeti okoline u postrojenju (pogonu), stupanj automatizacije, vrste i način polaganja vodova. Čini vrlo bitan segment svakog pogonskog sustava jer sadrži sve elemente zaštite i upravljanja istog.

Po svojem položaju i funkciji se mogu podijeliti na :

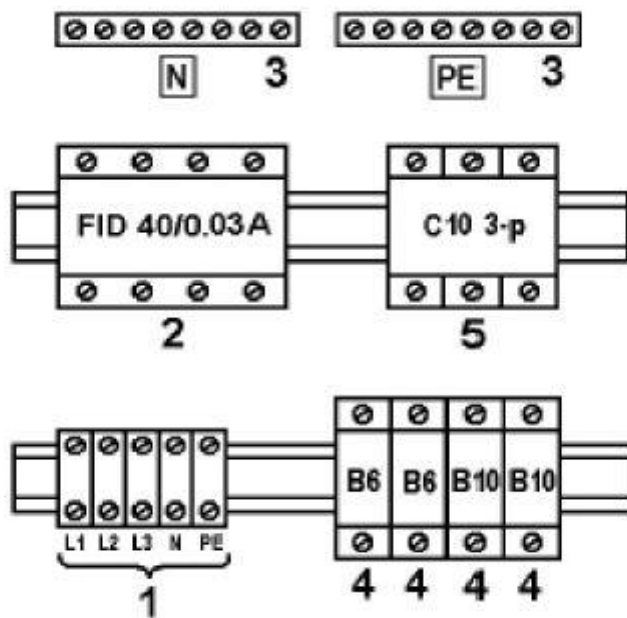
- samostojeće razvodne ormare,
- samostojeće priključno-mjerne ormare,
- kućne priključno-mjerne ormare,
- etažne razdjelnike,
- sekcijski priključno-mjerne ormare,
- mrežne razdjelne ormare i mnogi.

Za svako postrojenje se razvodni ormari posebno planiraju i projektiraju te prilagođavaju stanju sustava. Vrlo često dolazi do potpunog razdvajanja razvoda (rasvjetnih, termičkih, elektrokemijskih, elektromotornih trošila). Razdjelnice se projektiraju hijerarhijski ovisno o jakosti struje, odnosno količini energije. Konkretno, u našem pogonu, postoje tri razvodna ormara koji upravljaju i nadziru određeni dio pogona [12].

Elementi razdjelnice su:

- sabirnice neutralnih i zaštitnih vodova,
- strujna zaštitna sklopka,
- sklopnići,
- stezaljke napojnog voda,
- osigurači.

Isti se mogu vidjeti na slici 7.1., a brojevi na slici su slijedno opisani u prethodnoj podjeli.

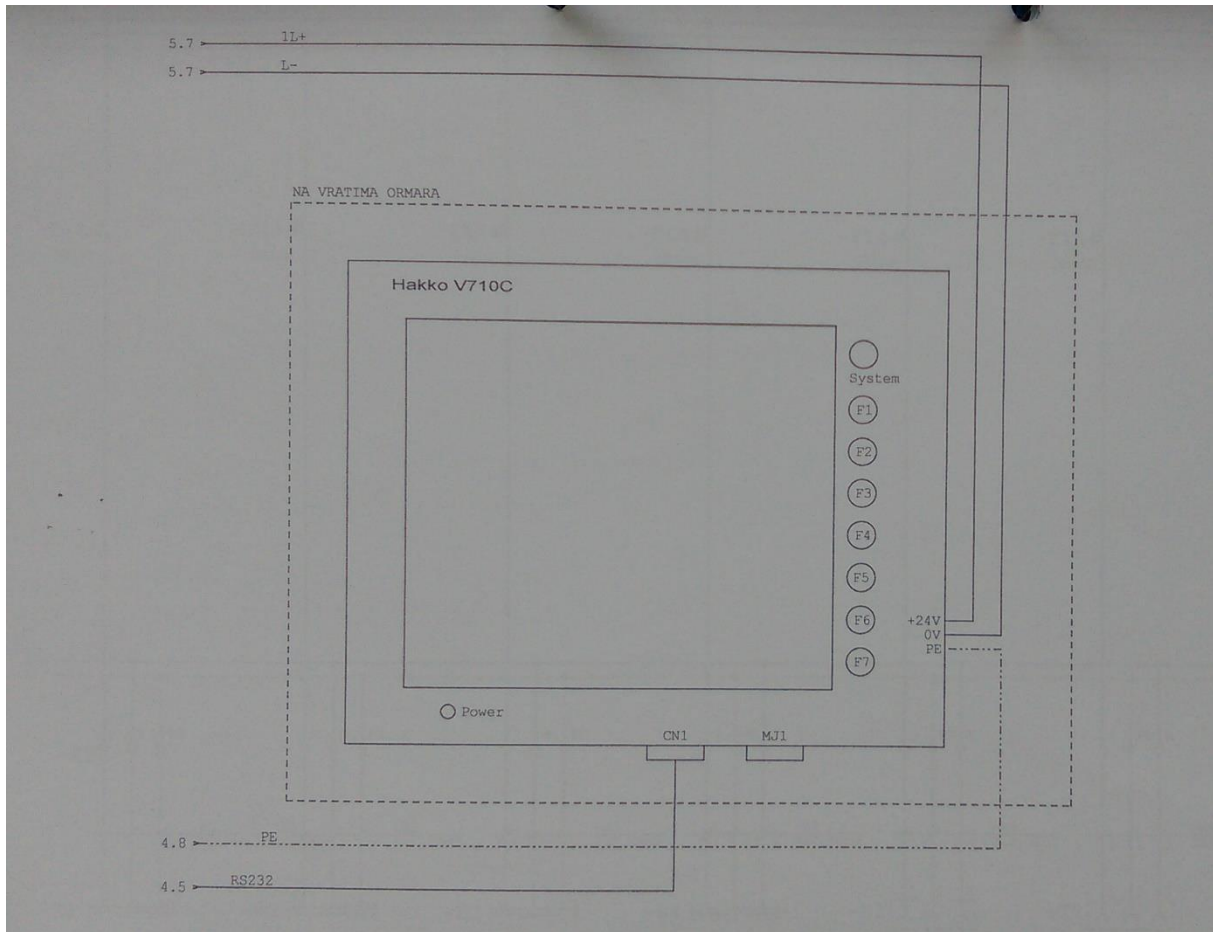


Slika 7.1. Glavni elementi razdjelnice

Osim djela koji se bavi zaštitom pogona (o čemu će više biti prikazano u poglavlju „Zaštita pogona“), treba spomenuti i dio razvodnog ormara zaduženog za automatizaciju pogona. Automatsko upravljanje „mozak“ je svakog modernog pogona. Ono predstavlja nadzor i upravljanje cijelim postrojenjem s kontrolnog mjesta, kao i najbržu moguću reakciju u slučaju kvara i smetnji unutar sustava. Naravno, automatika ne može sve sama uraditi, već joj je potrebna pomoć svih glavnih elemenata razdjelnice (Slika 7.1.) s kojima blisko surađuje. Osnovu upravljanja predstavlja PLC računalo te sustav koji upravlja njime.

Kao što je već spomenuto u drugoj cjelini ovog rada, PLC računalo koje koriste silosi OC Šljivoševci je Siemensove proizvodnje. Ono surađuje s jedne strane sa zaštitnim dijelovima pogona, dok s druge sa operatorskim panelom Siemens Hakko V710C, koji se nalazi na vratima razdjelnog ormara =NRO1. Panel je izrađen u „touch“ metodi, međutim može se upravljati i pomoću tipaka (koje se nalaze s lijeve strane displaya). Sadrži testni i realni prikaz stanja sustava. Testni prikaz stanja je namijenjen simulaciji događaja i uvidu koji su eventualni problemi naznačeni u trenutnom stanju. Ono služi za svakodnevnu provjeru stanja, bez da bi prethodno PLC računalo prikazalo probleme unutar sustava. Testno stanje je većinom u offline metodi i uključuje se samo testa. Realni prikaz stanja sustava je stalno u online metodi i nadzire sustav u svakom trenutku, te javlja eventualne greške tijekom rada. Prikaz jednog testnog stanja prikazan je na slici 2.24., kao i pravovremenu reakciju ljudskog faktora. Shematski prikaz

operatorskog panela prikazana je na slici 7.2., dok smo na slici 2.8. mogli vidjeti jedan od primjera stanja prikazanog na istom [1].

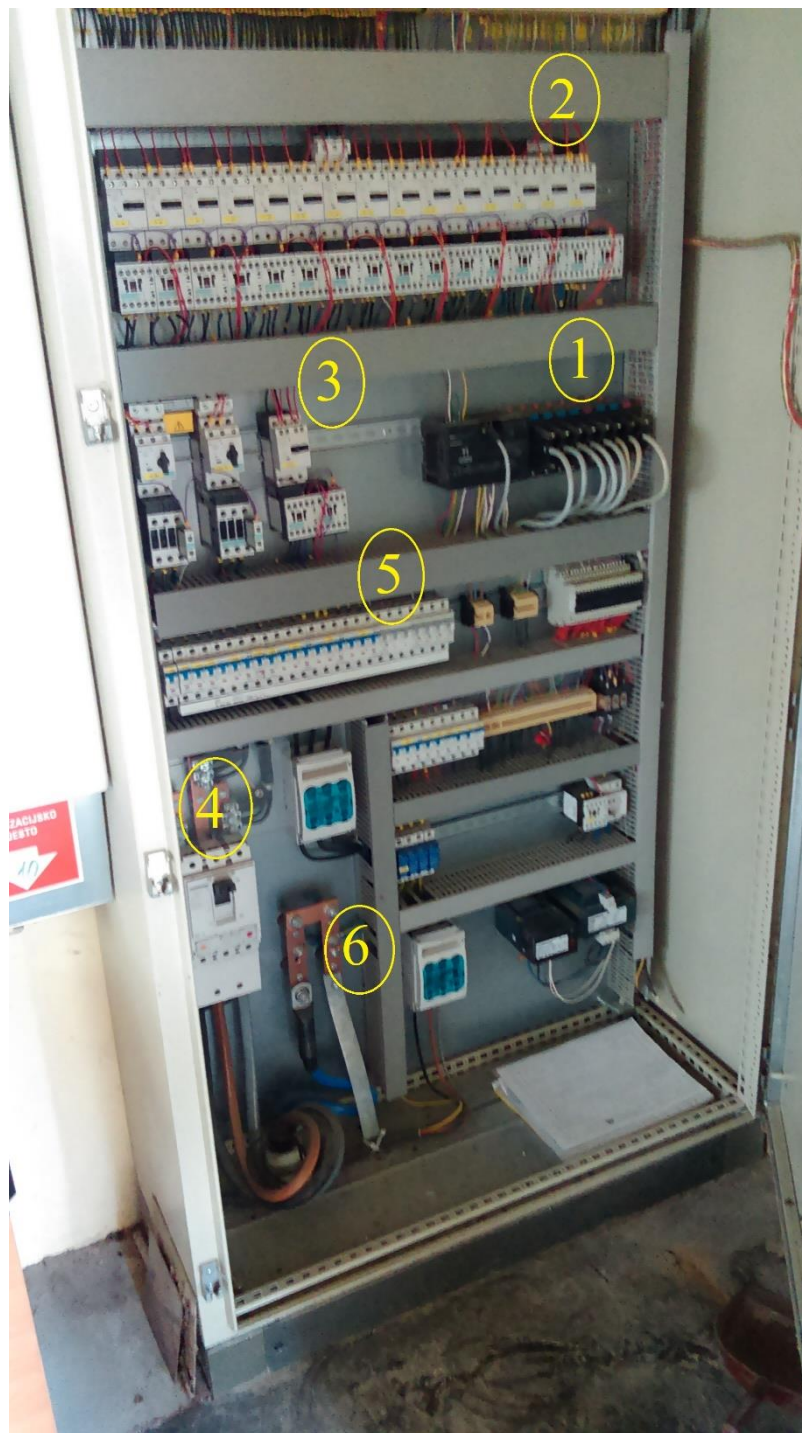


Slika 7.2. Shematski prikaz operatorskog panela Siemens Hakko V710C

Silosima OC Šljivoševci početno se upravljalo sa dva razvodna ormara (=NRO1 i =NRO2), ali se nadogradnjom silosa izradio dodatni ormar (=NRO1.1). U nastavku ove cjeline biti će prezentirana sva tri razvodna ormara, uz jednopolne i strujne elektromotorne sheme te tekstualne opise istih. Također će sve svaka slika posebno prokomentirati (oznake na shemama, snage pojedinih trošila, presjek i vrsta kabela električnih instalacija).

7.2. Razvodni ormar =NRO1

Razvodni ormar =NRO1 (Slika 7.3.) [4] predstavlja glavni način upravljanja ovim pogonom. Na vratima istog nalazi se Siemensov operatorski panel koji surađuje sa istoimenim PLC računalom te sklopnim uređajima. Shematski prikaz panela prikazan je na slici 7.2.



Slika 7.3. Razvodni ormar =NRO1 (unutrašnjost)

gdje je : 1 – PLC,

2 – Motorna zaštitna sklopka Schrack, oznaka BESD0063,

3 – Motorna zaštitna sklopka Schrack, oznaka BE5,

4 – Glavna sklopka,

5 – Automatski instalacijski osigurači,

6 – Uzemljenje objekta,

a o kojima će biti više rečeno u dalnjem dijelu ovog diplomskog rada.

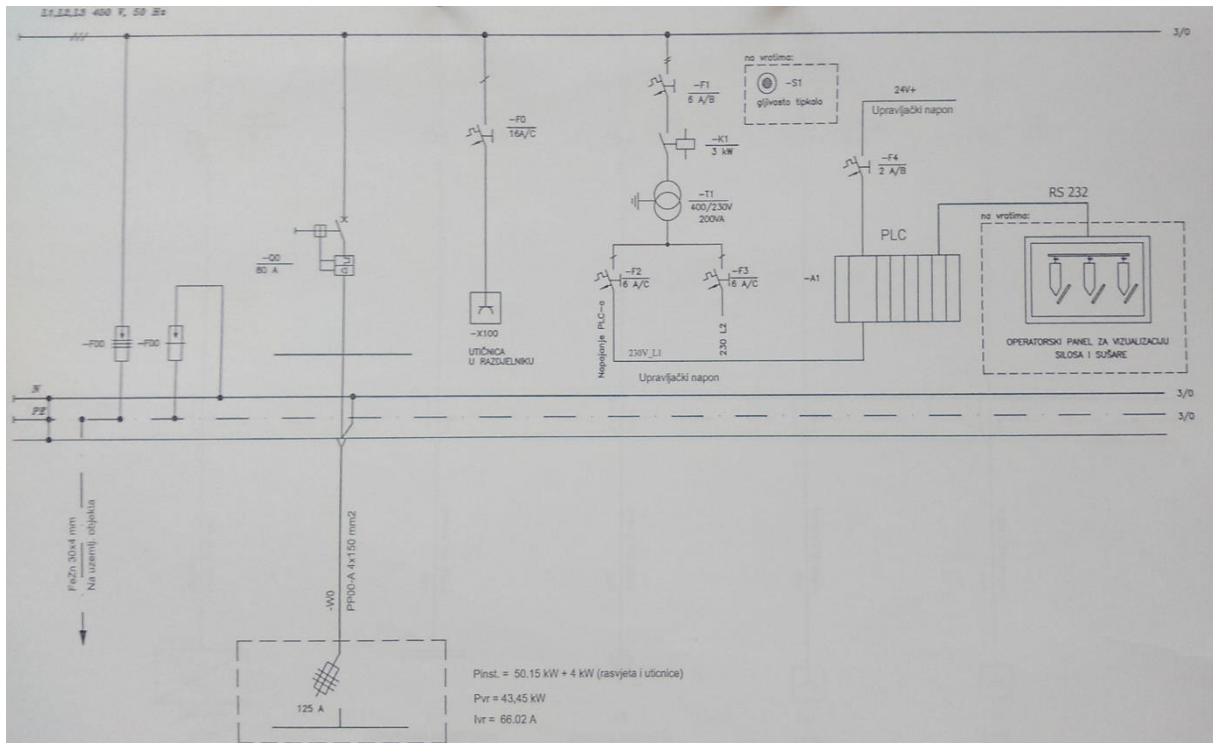
Ovaj komandni dio pogona je po vrsti samostojeći razvodni ormar, a izgrađen je od limenog pokrova. Sastoji se od zaštitnih uređaja o kojima će biti više rečeno u poglavljju „Zaštita pogona“, ali i upravljačkog dijela (PLC računalo) vidljivog na slici 7.3 (broj 1), te glavne sklopke (Slika 7.3. – broj 4) i uzemljenje objekta (Slika 7.3. – broj 6) [4].

Siemens PLC računalo upravlja radom sustava te na temelju izdanih naredbi od Siemensovog operatorskog panela obavlja potrebne radnje u suradnji sa zaštitnim uređajima.

Glavna sklopka, kao što joj i ime govori, primarna je sklopka u ovom pogonu po važnosti, te njen prebacivanje u položaj OFF označilo bi automatski kraj rada cijelog sustava. Ona se koristi u slučaju potreba da cijeli pogon bude van rada (određene rekonstrukcije na pogonu pa samim time sigurnost da je sve u mirnom radu), te u slučaju požara ili situacija kojima PLC računalo ne može stopostotno odraditi.

Na slici 7.4. [1] prikazana je jednopolna shema :

- uzemljenja objekta trakom FeZn 30x4 mm,
- odvodnika prenapona koji štiti trofazni vod (L1,L2,L3),
- odvodnika prenapona koji štiti samo jedan vod, tj. nulu N,
- dovod iz transformatorske stanice 10/0,4 kV kabelom PP00-A 4x150 mm², koji se štiti rastavnom sklopkom sa osiguračem jakosti struje 125 A, te prekidačem sa nadstrujnom zaštitom,
- utičnica u razdjelniku koja se štiti osiguračem 16 A, karakteristike C,
- PLC računalo koje se štiti trima osiguračima 6 A (B i C karakteristike), motorne sklopke sa bimetalnom zaštitom na 3 kW, transformator sa uzemljenim zvjezdištem sekundara 400/230 V. PLC također ima AC-DC pretvarač sa 230 V na 24 V. Na 24 V strani se nalazi osigurač od 2 A, B karakteristike. PLC je povezan operatorskim panelom (koji se nalazi na vratima razvodnog ormara) RS-232 serijskim portom za serijski komunikacijski prijenos podataka,
- Na vratima se nalazi i gljivasto tipkalo.

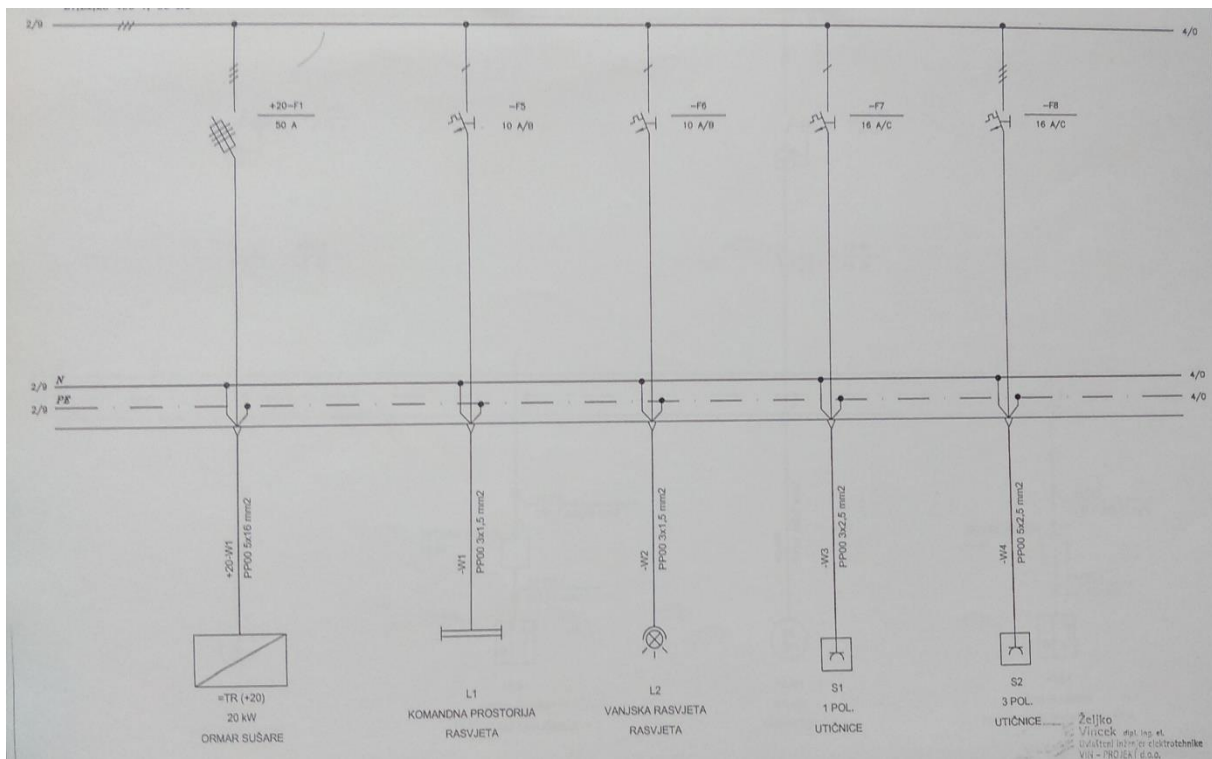


Slika 7.4. Jednopolna shema razvodnog ormara =NRO1 (stranica 1)

Nastavak na prvi dio ove jednopolne sheme donosi pregled spajanja :

- ormara sušare 20kW kabelom PP00 5 x 16 mm² preko rastavne sklopke sa osiguračem jakosti struje 50 A na nulu i uzemljenje te na mrežu,
- komandne prostorije rasvjete kabelom PP00 3 x 1,5 mm² preko osigurača sa bimetalnom zaštitom 10 A, karakteristike B na nulu i uzemljenje te na mrežu,
- vanjske rasvjete kabelom PP00 3 x 1,5 mm² preko osigurača sa bimetalnom zaštitom 10 A, karakteristike B na nulu i uzemljenje te na mrežu,
- jednopolne utičnice kabelom PP00 3 x 2,5 mm² preko osigurača sa bimetalnom zaštitom 16 A, karakteristike C na nulu i uzemljenje te na mrežu,
- tropolne utičnice kabelom PP00 5 x 2,5 mm² preko osigurača sa bimetalnom zaštitom 16 A, karakteristike C na nulu i uzemljenje te na mrežu,

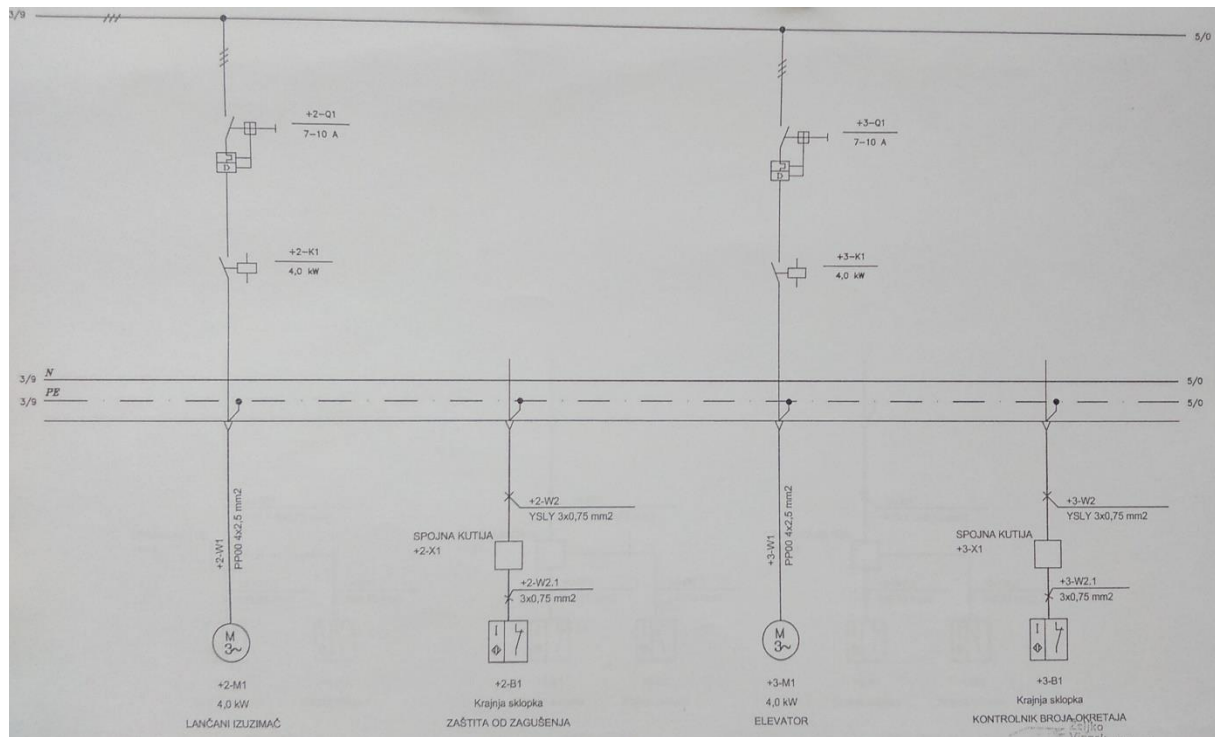
što je vidljivo na slici 7.5. [1].



Slika 7.5. Jednopolna shema razvodnog ormara =NRO1 (stranica 2)

Slika 7.6. [1] prikazuje jednopolne sheme :

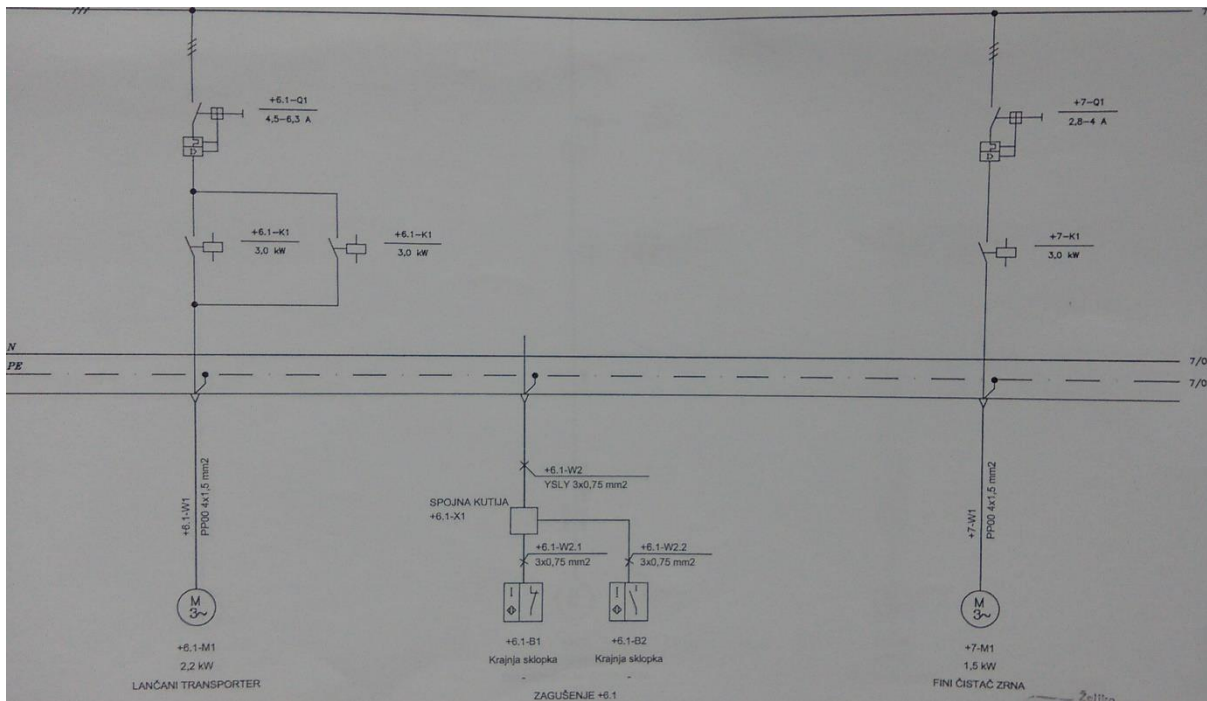
- lančanog izuzimača, snage 4kW kabelom PP00 4 x 2,5 mm² preko motorne sklopke snage 4kW i prekidača nadstrujne zaštite jakosti struje 7-10 A na uzemljenje i faze,
- zaštite od zagušenja (krajnja sklopka) spojene kabelom 3 x 0,75 mm² do spojne kutije, dok je spojna kutija spojena kabelom YSLY 3 x 0,75 mm² na uzemljenje,
- elevatorsa snage 4 kW kabelom PP00 4 x 2,5 mm² preko motorne sklopke snage 4kW i prekidača nadstrujne zaštite jakosti struje 7-10 A na uzemljenje i faze,
- kontrolnika broja okretaja spojenog kabelom 3 x 0,75 mm² do spojne kutije, dok je spojna kutija spojena kabelom YSLY 3 x 0,75 mm² na uzemljenje i faze.



Slika 7.6. Jednopolna shema razvodnog ormara =NRO1 (stranica 3)

Na idućoj slici (Slika 7.7.) [1] možemo vidjeti jednopolne sheme idućih komponenata :

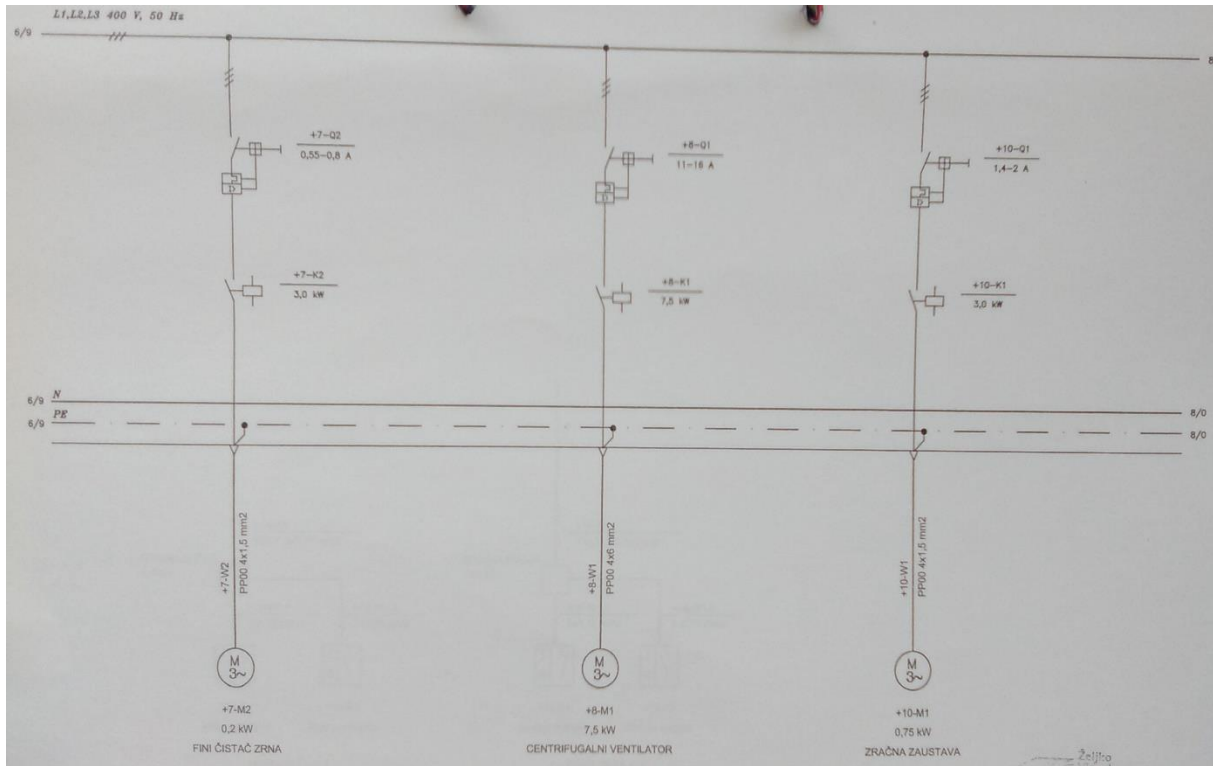
- lančanog transportera snage 2,5 kW spojenog kabelom PP00 4 x 1,5 mm² preko motorne sklopke snage 3 kW i nadstrujne zaštite jakosti struje 4,5-6,3 A na mrežu (uzemljen),
- dviju krajnjih sklopki spojene kabelom 3 x 0,75 mm² do spojne kutije, dok je spojna kutija spojena kabelom YSLY 3 x 0,75 mm² na uzemljenje,
- finog čistača zrna snage 1,5 kW spojenog kabelom PP00 4 x 1,5 mm² preko motorne sklopke snage 3 kW i nadstrujne zaštite jakosti struje 2,8-4 A na uzemljenje te faze.



Slika 7.7. Jednopolna shema razvodnog ormara =NRO1 (stranica 4)

Slika 7.8. [1] prikazuje jednopolne sheme :

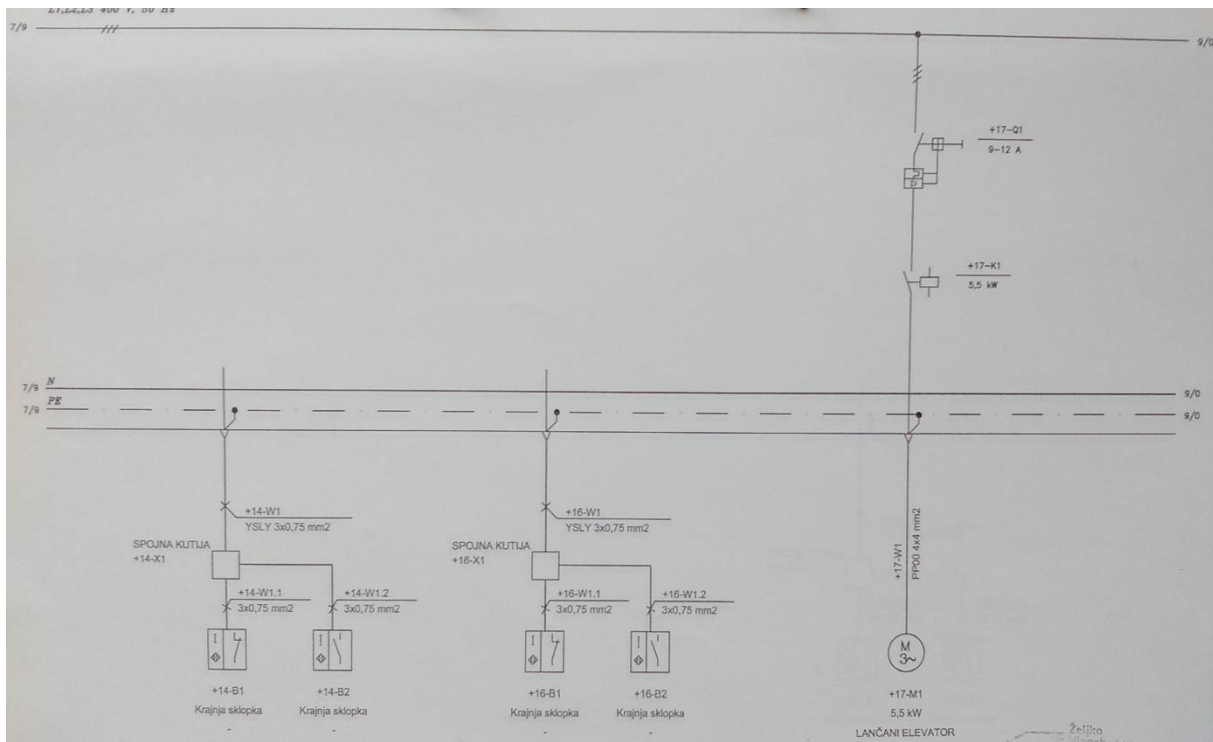
- finog čista zrna snage 0,2 kW spojenog kabelom PP00 4 x 1,5 mm² preko motorne sklopke snage 4 kW te nadstrujne zaštite 0,55-0,8 A na fazu i uzemljenje,
- centrifugalnog ventilatora snage 7,5 kW spojenog kabelom PP00 4 x 1,5 mm² preko motorne sklopke snage 7,5 kW te nadstrujne zaštite na uzemljenje i fazu,
- zračne zaustave snage 0,75 kW spojene kabelom PP00 4 x 1,5 mm² preko motorne sklopke snage 3 kW te nadstrujne zaštite na fazu i uzemljenje.



Slika 7.8. Jednopolna shema razvodnog ormara =NRO1 (stranica 5)

Iduća slika (Slika 7.9.) [1] nam prikazuje jednopolne sheme idućih komponenti spojenih na mrežu:

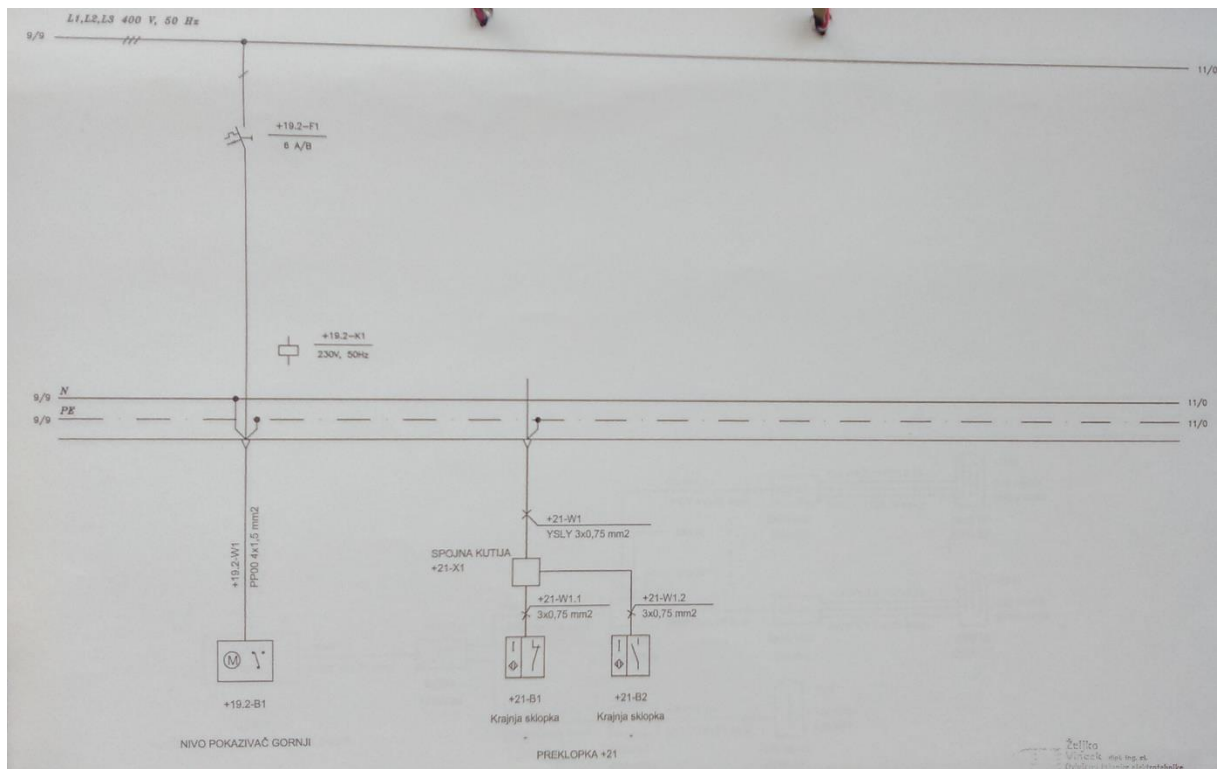
- krajnjih sklopki spojenih kabelom $3 \times 0,75 \text{ mm}^2$ do spojne kutije, dok je spojna kutija spojena kabelom YSLY $3 \times 0,75 \text{ mm}^2$ na uzemljenje,
- lančastog elevatora snage 5,5 kW spojenog kabelom PP00 $4 \times 4 \text{ mm}^2$ preko motorne sklopke snage 5,5 kW te nadstrujne zaštite jakosti struje 9-12 A na uzemljenje i faze.



Slika 7.9. Jednopolna shema razvodnog ormara =NRO1 (stranica 6)

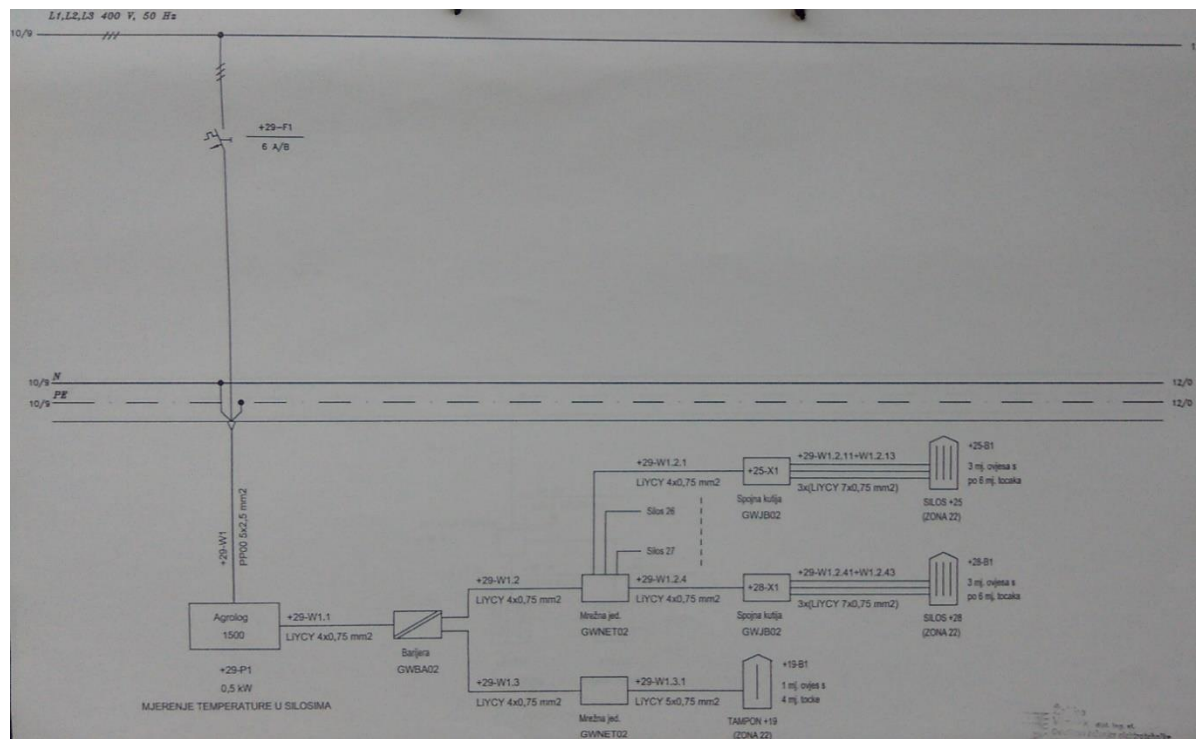
Na slici 7.10. [1] uočavamo jednopolne sheme :

- nivo pokazivača spojenog kabelom PP00 4 x 1,5 mm² preko osigurača 6 A, karakteristike B sa bimetalnom zaštitom na faze, nulu i uzemljenje,
- krajnjih sklopki spojenih kabelom 3 x 0,75 mm² do spojne kutije, dok je spojna kutija spojena kabelom YSLY 3 x 0,75 mm² na uzemljenje mreže.



Slika 7.10. Jednopolna shema razvodnog ormara =NRO1 (stranica 7)

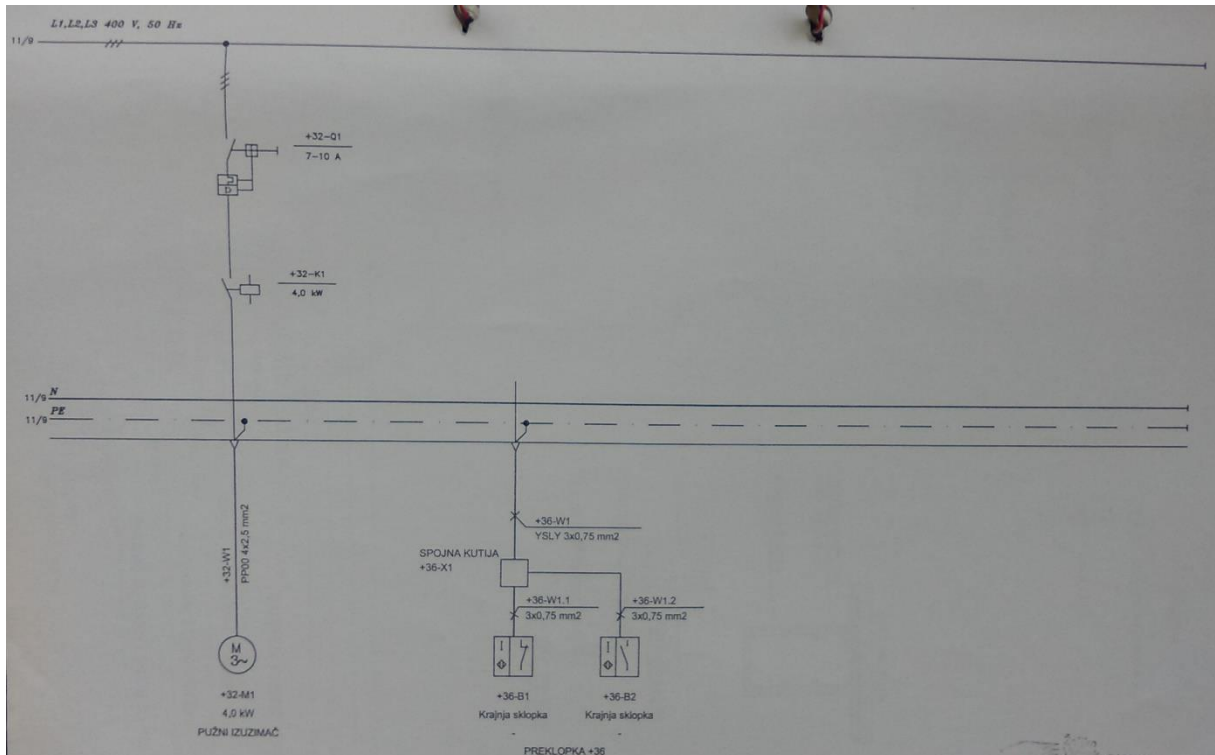
Slika 7.11. [1] prikazuje jednopolnu shemu spajanja mjerjenja temperature u silosima preko osigurača 6 A, karakteristike B sa bimetalnom zaštitom na mrežu, sa pratećim oznakama spajanja do silosa.



Slika 7.11. Jednopolna shema razvodnog ormara =NRO1 (stranica 8)

Na slici 7.12. [1] možemo vidjeti jednopolne sheme idućih komponenti spojenih na mrežu :

- pužnog izuzimača snage 4 kW spojenog kabelom PP00 4 x 2,5 mm² preko motorne sklopke snage 4 kW te nadstrujne zaštite 7-10 A na uzemljenje i faze,
- krajnjih sklopki spojenih kabelom 3 x 0,75 mm² na spojnu kutiju, dok je spojna kutija spojena kabelom YSLY 3 x 0,75 mm² na uzemljenje mreže.



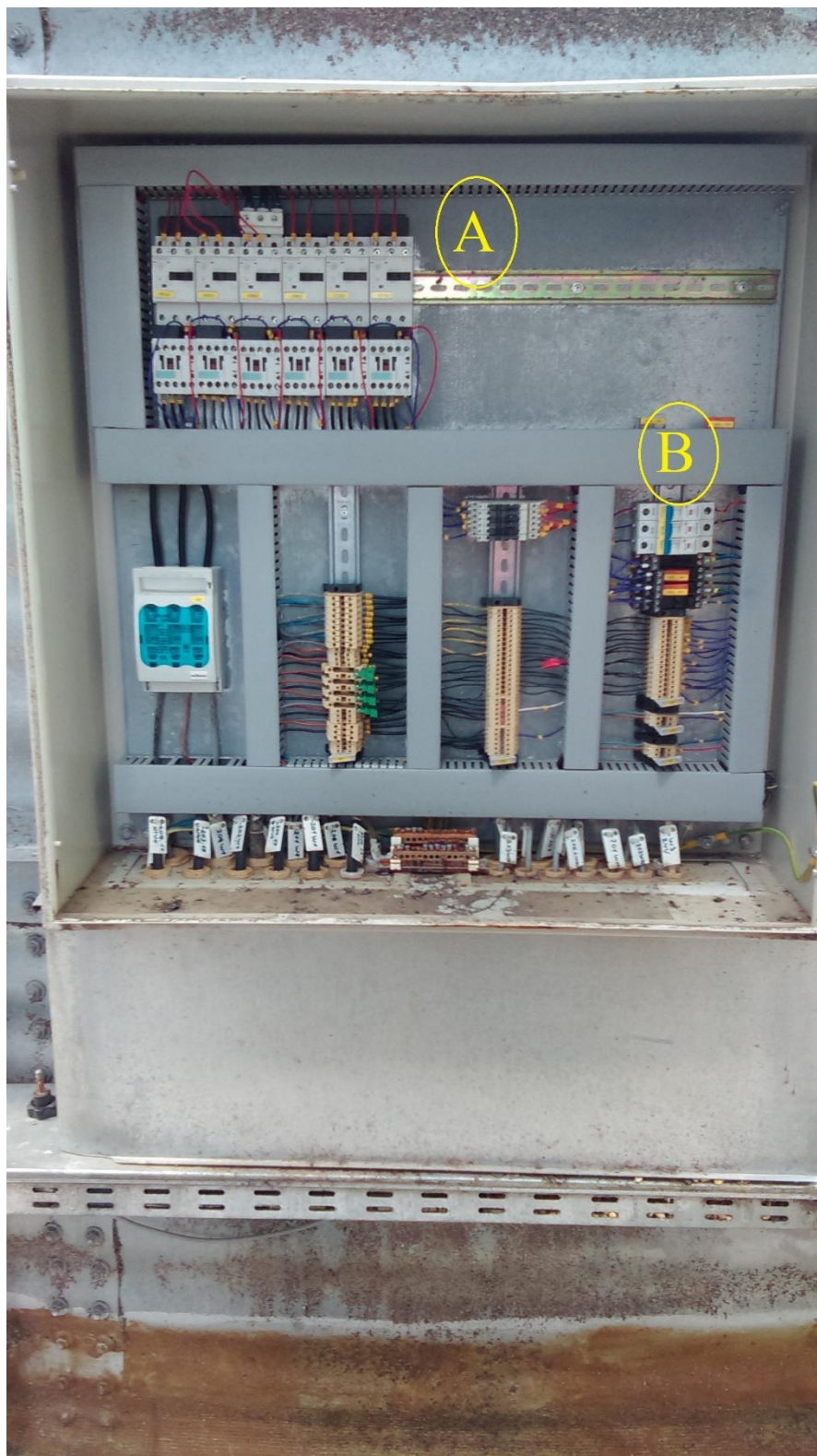
Slika 7.12. Jednopolna shema razvodnog ormara =NRO1 (stranica 9)

7.3. Razvodni ormar =NRO1.1

Razvodni ormar =NRO1.1 izgrađen je naknadno nakon izgradnje dodatnih četiriju silosa u OC Šljivoševci. Nalazi se izvan kontrolne kućice i puno je manjih dimenzija od kontrolnog razvodnog ormara =NRO1. Također, sadrži puno manje opreme. Vanjski izgled samog ormara vidljiv je na slici 7.13., dok na slici 7.14. možemo vidjeti njegov interijer. Detaljan opis zaštitnih uređaja unutar istog biti će detaljnije prikazani u idućem poglavlju („Zaštita pogona“) [4].



Slika 7.13. Vanjski izgled razvodnog ormara =NRO1.1



Slika 7.14. Interijer razvodnog ormara =NRO1.1

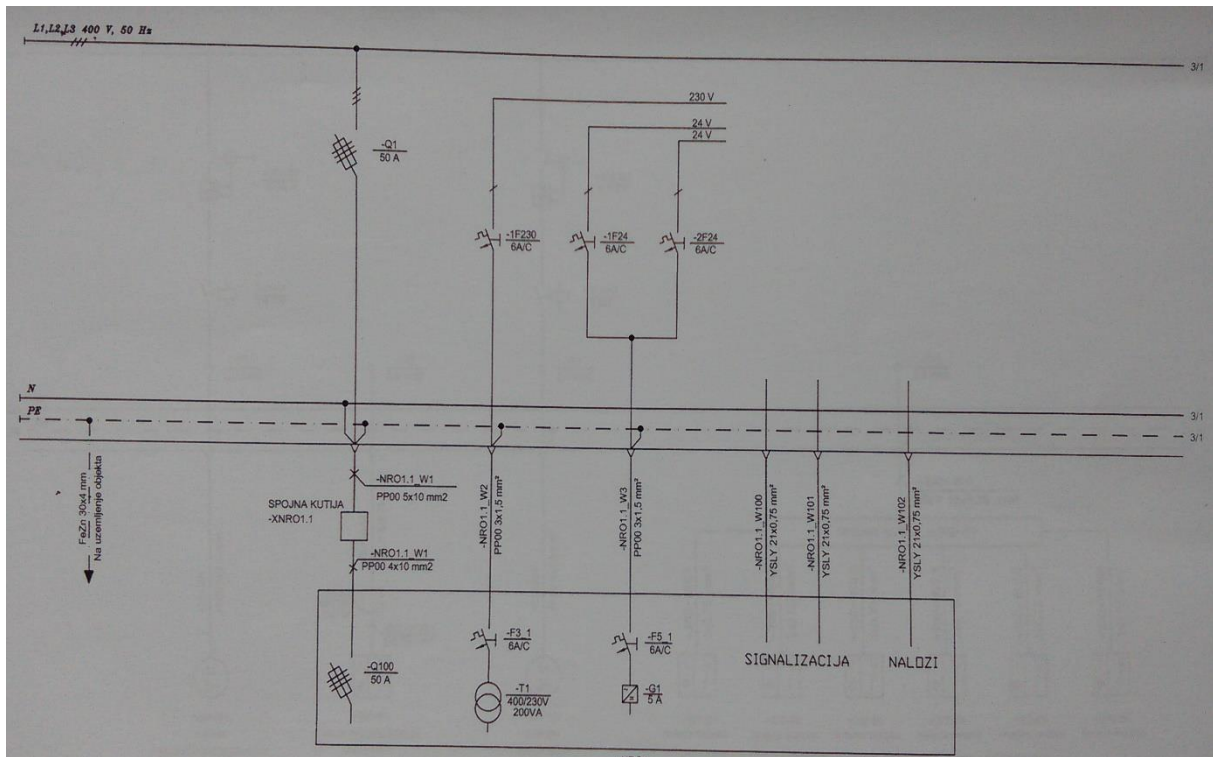
gdje su : A – Sklopnici,

B – Automatski instalacijski osigurači,

U nastavku ovog podnaslova, biti će prikazane jednopolne sheme navedenog razvodnog ormara

Na slici 7.15. [1] prikazana je jednopolna shema :

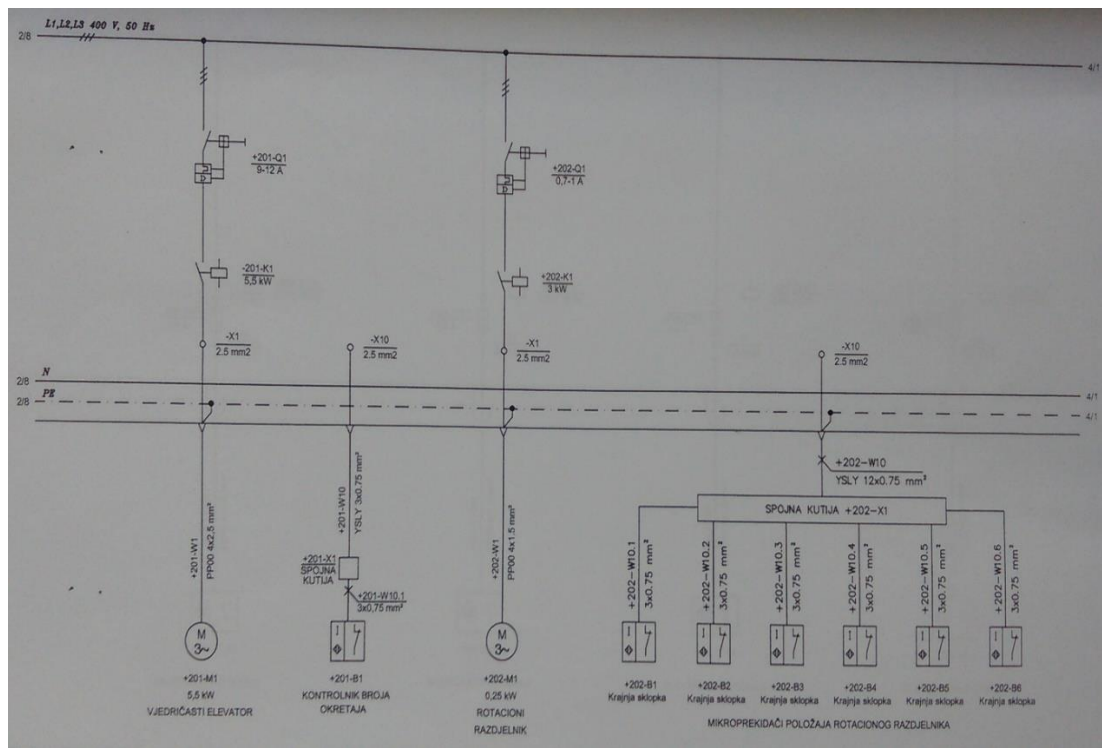
- uzemljenja razvodnog ormara =NRO1.1,
- rastavna sklopka sa osiguračem jakosti struje 10 A spojena na spojnu kutiju kabelom PP00 4 x 10 mm², dok je ista spojena na mrežu kabelom PP00 5 x 10 mm² preko još jedne rastavne sklopke sa osiguračem jakosti struje 10 A na mrežu,
- Dovod iz trafostanice preko osigurača 6 A, karakteristike C kabelom PP00 3 x 1,5 mm² na 230 V,
- ispravljača spojenog kabelom PP00 3 x 1,5 mm² na mrežu preko osigurača 6 A, karakteristike C na 24 V,
- Signalizacija razvodnog ormara.



Slika 7.15. Jednopolna shema razvodnog ormara =NRO1.1 (stranica 1)

Slika 7.16. [1] prikazuje jednopolnu shemu kojom su sljedeće komponente spojene na mrežu :

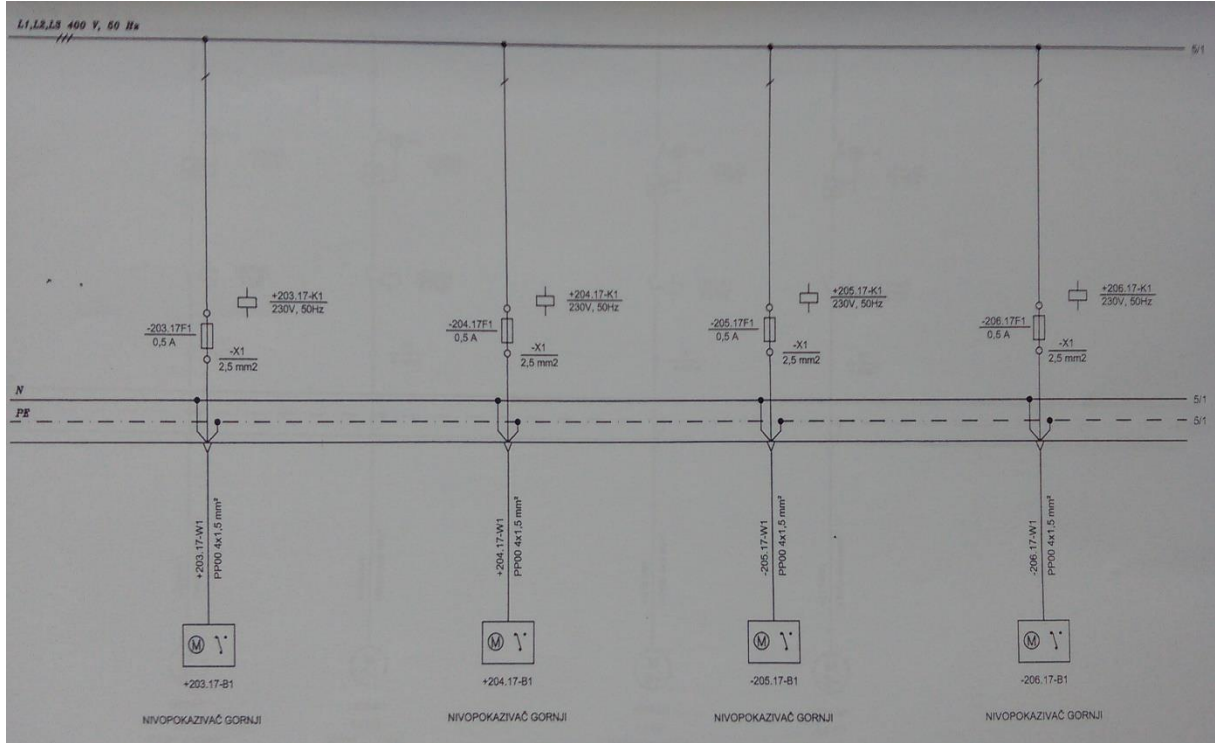
- Vjedričasti elevator snage 5,5 kW spojene kabelom PP00 4 x 2,5 mm² preko motorne sklopke snage 5,5 kW te nadstrujne zaštite 9-12 A na uzemljenje i faze,
- Kontrolnik broja okretaja spojenog na spojnu kutiju kabelom 3 x 0,75 mm², dok je ista spojena na osigurač kabelom YSLY 3 x 0,75 mm²,
- Rotacijski razdjelnik snage 0,25 kW spojene kabelom PP00 4 x 1,5 mm² preko osigurača, motorne sklopke snage 3 kW, te nadstrujne zaštite 0,7-1 A na uzemljenje i faze,
- Mikroprekidači rotacijskog razdjelnika spojenog na spojnu kutiju (uzemljenu), dok je ista spojena na kabel YSLY 12 x 0,75 mm²



Slika 7.16. Jednopolna shema razvodnog ormara =NRO1.1 (stranica 2)

Na idućoj slici (Slika 7.17.) možemo vidjeti jednopolnu shemu :

- Četiriju gornjih nivopokazivača spojenih kabelom PP00 4 x 1,5 mm² preko osigurača 0,5 A na mrežu



Slika 7.17. Jednopolna shema razvodnog ormara =NRO1.1 (stranica 3)

7.4. Razvodni ormar =NRO2

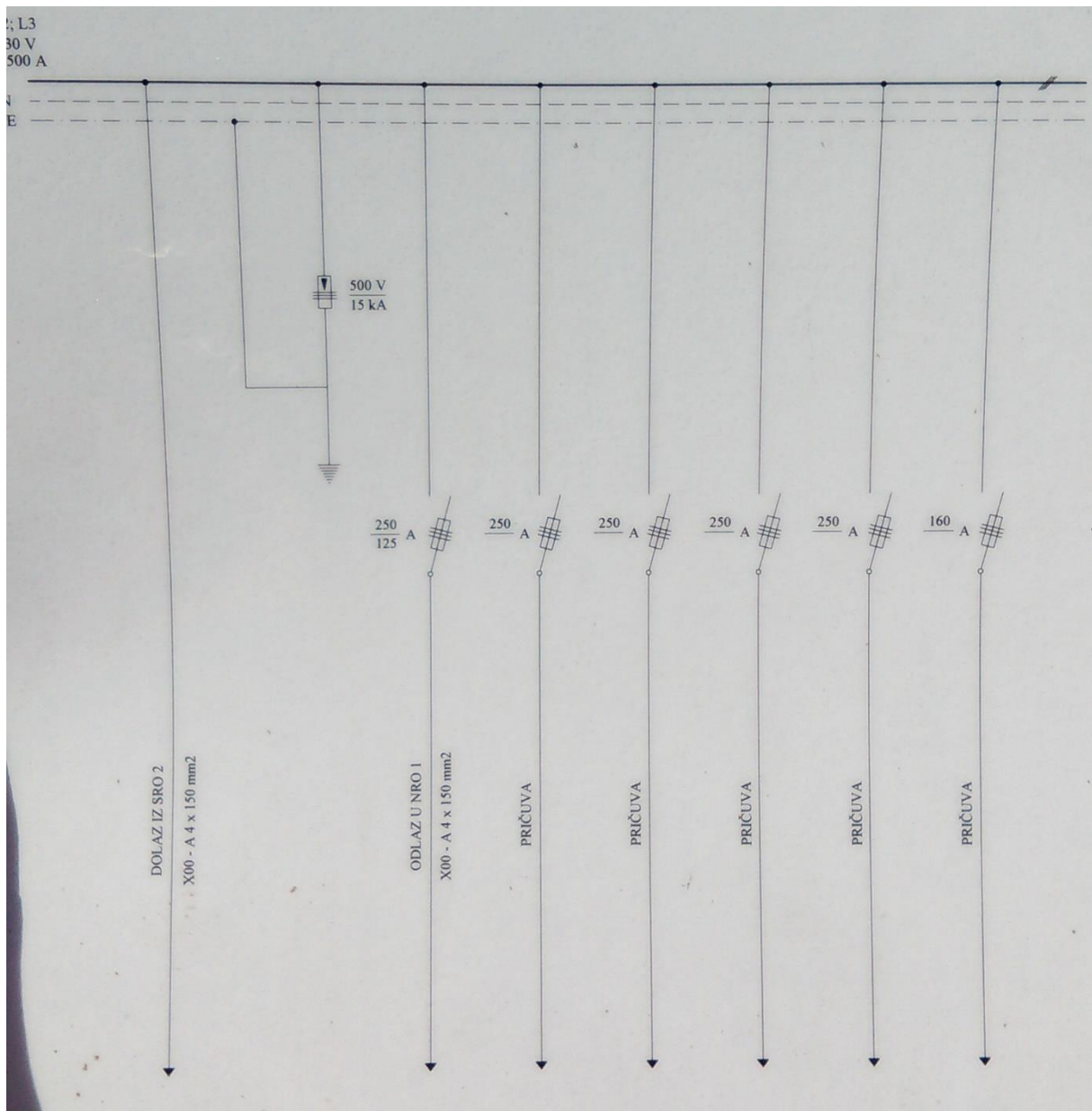
Treći (ujedno i posljednji) razvodni ormar u ovom pogonu je razvodni ormar =NRO2 koji se nalazi unutar samog pogona, na vanjskoj strani upravljačke kuće. Kako je razvodni ormar =NRO1 glavni i komandi, za pretpostaviti je da razvodni ormar =NRO2 nema preveliku ulogu (međutim ne treba ga zapostaviti). Isti se nalazi s vanjske strane pogona i prema tome je zaključan kako osobe, koje nisu djelatnici tvrtke Žito d.o.o. Osijek, ne bi mogli imati uvid u ovaj razvodni ormar. Prema tome, posjedujemo sliku samo vanjskog izgleda razvodnika =NRO2 (slika 7.18..), dok će se interijer prikazati kroz jednopolnu shemu [4].



Slika 7.18. Vanjski izgled razvodnog ormara =NRO2

Jednopolna shema, koja prikazuje cijeli razvodnik =NRO2 prikazana je na slici 6.21. [1], a prikazuje sljedeće :

- Dolaz iz SRO2 (trafostanice) kabelom X00 – A 4 x 150 mm²,
- Uzemljenje razvodnika preko odvodnika prenapona otpora $\frac{500 \text{ V}}{15 \text{ kA}}$,
- Odlaz u glavni, komandni razvodni ormar =NRO1 kabelom X00 – A 4 x 150 mm² preko rastavnih sklopki sa osiguračem jakosti struje 250 A, odnosno 160 A,
- Dodatne pričuve za eventualne nadogradnje pogona.



Slika 7.19. Jednopolna shema razvodnog ormara =NRO2

8. ZAŠTITA POGONA

8.1. Uloga zaštitnih uređaja u pogonima

Pojam „zaštita“ u elektrotehnici označava skup uređaja čiji je primarni zadatak prepoznavanje kvarova ili drugih poremećaja u pogonima, te njeno otklanjanje, prekidanje poremećenog stanja ili signalizacija poremećaja.

Zaštitni uređaji mogu po svojoj funkciji štititi postrojenja ili kućanstva, pa ovisno o kojem obliku zaštite se govori, oni mogu biti različiti po nekoliko segmenata. Segmenti koji čine razliku su : vrsta električnih instalacija, broj trošila, snaga pojedinih trošila. Kvar, prouzrokovani preopterećenjem ili povišenom temperaturom, može dovesti do oštećenja na motorima, nekoliko komponenti pogona ili čak na cijelom pogonu. Najbitnija činjenica u zaštiti svega je sprječavanje opasnosti koji dovodi do ozljedivanja ljudi, a ponegdje i smrtnog slučaja.

Zaštitni uređaji koji se koriste u ovome pogonu, a prikazani su već u razvodni ormarima su :

- sklopnići,
- osigurači,
- uzemljenje pogona,
- zaštita elektromotora.

8.2. Sklopnići

Sklopnići su elektromagnetske sklopke koje se primjenjuju za snažne potrošače. Oni mogu podnijeti veća opterećenja od releja. Njima se upravlja daljinski i imaju dva položaja.

Vrste sklopnika su :

- motorni sklopnići,
- vakumski sklopnići,
- instalacijski sklopnići,
- pomoćni sklopnići.

Sklopnići se mogu primjenjivati i kod izmjeničnog i kod istosmjernog napona, te imaju dva rastavišta za svaki kontakt (zaštita i dugovječnost sklopnika). Prespajanje elektromotora iz spoja zvijezda u trokut se također može vršiti pomoću dvaju ili više sklopnika. Osim toga, pogodni su i za promjenu smjera vrtnje elektromotora i promjene broja uključenih polova.

Glavni dijelovi sklopnika su :

- kućište,
- stezaljke,
- kontakti,
- nosači pomičnih kontakata,
- namoti i kotve elektromotora.

Kod sklopnika važnu ulogu ima tzv. „lučna komora“, koja prilikom sklapanja kontakata gasi nastale iskre sprječavajući nastanak požara [13].

Sklopnici u razvodnom ormaru (=NRO1.1 prikazani su na slici 7.14. i označeni slovom A [4].

8.2.1 Motorni sklopnici

Motorni sklopnici, kao što im i samo ime govori, zaštitni su mehanizam svakog motora u pogonu. Upravo su motori, zbog njihovog velikog broja unutar sustava, bitan čimbenik i vrlo osjetljiv dio pogona. Većina motora koja se koriste su veće nazivne snage (3 kW, 5.5 kW, 7.5 kW) te mogu izazvati veće posljedice za sustav ukoliko dođe do pregrijavanja ili zapaljenja istog. Sam kvar motora predstavljao bi veliki problem jer se oni nalaze na najosjetljivijim dijelovima pogona i imaju bitne uloge u radu istog. Upravo zato se oni dodatno zaštićuju. Kao što smo mogli vidjeti u cijelini „elektromotorne sheme“, svaki motor se priključjuje mrežu preko motorne sklopke prikladne snage ali i nadstrujne zaštite koja kontrolira iznos jakosti struje. Kako su elektromotori različitih vrijednosti nazivne snage, tako se i motorni sklopcima njima prilagođavaju. Kako isti surađuju sa PLC računalom, odnosno operatorskim panelom na vratima ormara u kojem se nalazi (=NRO1), prikladno je malo vrijeme odziva, motorni sklopnik u suradnji sa nadstrujnom zaštitom mora brzo odraditi te poslati poruku kao zapis na operatorskom panelu. Na nedopušten iznos jakosti struje, sklopnik će poduzeti mjeru isključenja motora na kojem se dogodio kvar te će zaustaviti daljnji dio pogona zbog eventualnog zagruženja robom te posljedica koja dolaze s time.

U ovom pogonu postoje dvije vrste motornih sklopki :

- Motorna zaštitna sklopka Schrack, tropolna, oznaka BESD0063, klasa 10 (na slici 8.1. [13] vidljiv njen oblik, dok na slici 7.3. je označena brojem 2), a međusobno se razlikuju samo po jakosti struje,

- Motorna zaštitna sklopka Schrack, tropolna, oznaka BE5, klasa 10 (na slici 8.2. [14] možemo vidjeti kako ona izgleda pojedinačno, dok na slici 7.3. je ista označena brojem 3) te se međusobno razlikuju po jakosti struje.



Slika 8.1. Motorna zaštitna sklopka Schrack (tropolna), oznaka BESD0063



Slika 8.2. Motorna zaštitna sklopka Schrack (tropolna), oznaka BE5

8.3. Glavna sklopka

Glavna sklopka predstavlja najbrži način isključenja svih komponenti unutar razvodnog ormara, međutim ista se koristi samo u slučaju prestanka rada pogona. Ona predstavlja sigurnost osoblju da je cijeli pogon u beznaponskom stanju i da su svi motori prestali sa radom. Međutim vrlo rijetko se njome koristi, te je većinom njeno isključenje znak da je alarmantno stanje unutar sustava. Glavna sklopka unutar razvodnog ormara =NRO1 nalazi se na slici 7.3. i označena je brojem 4 [4].

8.4. Osigurači

Kako se u smjeru toka energije nakon razvodnog ormara smanjuje jakost struje, tako se u iste razdjelnice postavljaju odgovarajući osigurači prema jakosti struje u vodu iza osigurača. Upravo to omogućuju da, u slučaju kvara (odnosno kratkog spoja u pojedinom strujnom krugu) ne dođe do isključenja ostalih strujnih krugova osim pogodenom tim stanjem. Osigurači djeluju na strujno preopterećenje na bilo kojem mjestu strujnog kruga koje ono pokriva. Postavljaju se na početak ili kraj svakog strujnog kruga.

Osnovne izvedbe osigurača su :

- Rastalni (koriste se većinom u domaćinstvima i postrojenjima i sve manje ih ima u upotrebi) – primjer na slici 8.3.,
- Automatski (koriste se i u domaćinstvima i postrojenjima te se njihova upotreba povećava) – primjer na slici 8.4. [15].



Slika 8.3. Rastalni osigurači



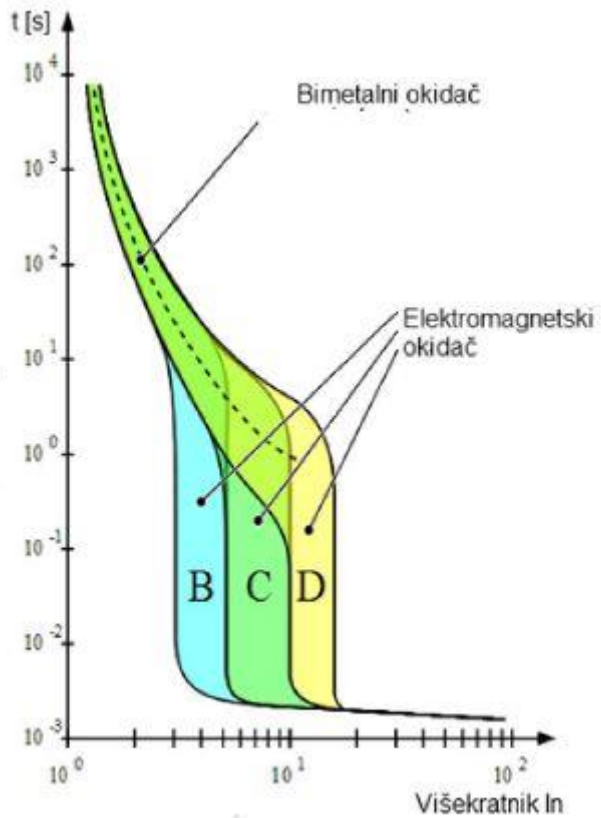
Slika 8.4. Automatski osigurači

Bitna prednost u uporabi automatskih osigurača u odnosu na one rastalne je ta što kod prekidanja strujnog kruga, ne treba mijenjati rastalni uložak (kao što je to slučaj kod rastalnih). Osim toga, manjih su dimenzija te se mogu lako montirati na šine u razvodnom ormaru. Automatski osigurači se izrađuju za nazivne struje u rasponu od 0,5 do 32 A, te za napone od 230 i 400 V.

Mogu se razlikovati prema strujno – vremenskoj karakteristici, prema kojoj se mogu podijeliti u četiri grupe :

- Karakteristika tipa A (okidanje kod $2-3 I_n$),
- Karakteristika tipa B (okidanje kod $3-5 I_n$),
- Karakteristika tipa C (okidanje kod $5-10 I_n$),
- Karakteristika tipa D (okidanje kod $10-20 I_n$).

Na slici 8.5. mogu se vidjeti navedene karakteristike [15].



Slika 8.5. Karakteristike automatskih osigurača prema strujno-vremenskoj karakteristici

U objektu ovog diplomskog rada koriste se samo automatski osigurači B i C karakteristike marke Schrack.

Automatski instalacijski osigurači su vidljivi u razvodnom ormaru =NRO1 prikazani su na slici 7.3. brojem 5, dok su isti na slici 7.14. (razvodni ormar =NRO1.1.) prikazani slovom B.

8.5. Uzemljenje razvodnog ormara

Kako je cijeli pogon, pa tako i razvodni ormari, izrađen od limenog pokrova (što je u slučaju atmosferskog pražnjenja i udara munja vrlo privlačno svojstvo), iste treba uzemljeniti. Uzemljenja pogona prikazana su na slikama 5.8. i 5.9. tlocrtom temeljnih uzemljivača. Razvodni ormar = NRO1 ima svoje uzemljenje (pričekano na slici 7.3. – broj 6) [4] jer se nalazi samostalno, dok se razvodni ormari =NRO1.1. i =NRO2 nalaze izvan kontrolne kućice, i pošto se nalaze na limenom pokrovu silosa, uzemljena su preko temeljnih uzemljivača samog pogona.

9. ZAKLJUČAK

Zadatak ovog diplomskog rada bio je promotriti pogon za sušenje žitarica (silosi OC Šljivoševci) i opisati njegove dijelove vezane za područje elektrotehnike.

Iako je naslov ovoga rada „Elektromotorne sheme i mjerena fizikalnih veličina vezanih za pogon sušenja žitarica“, neophodno je bilo opisati i ostale dijelove pogona potrebne za normalan rad jer ono funkcioniра samo kao cjelina. Tako su, osim shema i mjerena, bili prikazani opis rada i protok robe punjenja i pražnjenja silosa, tehnički opis postrojenja, proračuni na temelju provedenih mjerena, te zaštita pogona.

Sam početak diplomskog rada bio je rezerviran za upoznavanje čitatelja s pogonom (njegovim geografskim smještajem, namjenom, vlasništvu u čijem se nalazi te opisom rada). Opis rada je prikazan primjerom ulaska robe u silose. Prošavši cijeli pogon, možemo uočiti kako se isti oslanja na materijale i instrumenta koji su usko povezani s elektrotehnikom, građevinom, strojarstvom. Vrlo bitan čimbenik pogona predstavljaju motori koji obavljaju čitav rad i protok robe uz pomoć automatizacije. Isti su pomno odabrani kako bi njihova snaga odgovarala namjeni, te kako ne bi došlo do preopterećenja nekog od motora, što bi rezultiralo velikom opasnosti za upravljanje samog pogona ali i život ljudi koji se kreću u tome području. Cijelu „traku“ skladištenja žitarica, u ovom radu, slikovno prati prikaz Siemensovog računala (koji usko surađuje sa PLC računalom istog proizvođača kao i sa zaštitnim uređajima). Time se želi olakšati čitanje ovog diplomskog rada, kako tehničkim tako i osobama koji ne koriste svakodnevno tehničke zapise. Uočili smo kako je SCADA sustav (nadzor za upravljanje pogonom) vrlo učinkovit sustav za sprječavanje mogućih neželjenih pojava unutar pogona u najkraćem mogućem roku, ali i vidljiv prikaz osoblju o radu pogona te položaju same robe u svakom pojedinom trenutku.

Tehnički opis postrojenja je zapravo uvod čitatelju u najvažniji dio ovog rada (mjerenu fizikalnih veličina te elektromotorne sheme pogona). Isti opisuje oznake i smještaj pojedinih elemenata unutar pogona (primjerice kabela, razdjelnika, upravljanja) koji će biti detaljnije prikazani shemama razvodnih ormara, kao i izvođenje različitih zaštita unutar pogona koja će biti potrebna za mjerena.

Mjerenja predstavljaju opširan pojam u svijetu elektrotehnike, pa se u ovom diplomskom radu ono minimaliziralo i fokusiralo na ona mjerenja koja su potrebna kako bi se jedan pogon (u ovom slučaju silosi za pohranu žitarica) pustio u normalan rad. Mjerenja su provedena od strane stručnih osoba, te sam ja (kao autor ovog rada) izradio na temelju istih prikaz izračunatih vrijednosti te proračune vezane za ta mjerenja. Ispitivanja su provedena u skladu s definiranim normama, te prema strogim pravilima. Na temelju tablica (koja prikazuju izmjerene vrijednosti u usporedbi s dozvoljenim graničnim vrijednostima) možemo uočiti kako je ovaj pogon uspješno položio ispitno mjerenje (koje se provodi svake godine) bez iznimnim popravaka ili preinaka koja bi momentalno dovela pogon u stanje mirovanja. Također je vidljivo da su se mjerenja obavila uz pomoć mnogih višenamjenskih instrumenata vrlo velike točnosti. Također su načini mjerenja prikazani grafički i tekstualno. „Proračunima“ su prikazane različite matematičke operacije i formule kojima se određuju otpori, struje kratkih spojeva i slično.

Elektromotorne sheme se nastavljaju na tehnički opis postrojenja, te uz prikaz svih jednopolnih shema razvodnih ormara, opisane su sve oznake na istima te način spajanja. Vrlo bitan čimbenik predstavljaju elektromotorne sheme jer svaka tehnička osoba može u vrlo kratkom roku pronaći željeni motor, zaštitni uređaj te način spajanja ovisno o potrebi.

Diplomski rad je ciljano dovršen temom koja se bavi zaštitom pogona, jer predstavlja bitan čimbenik u zaštiti od opasnosti koje prijete pogonu i ljudskom faktoru. Na temelju razvodnih ormara, te elektromotornih shema unutar istih, detaljno su naznačeni zaštitni uređaji (kao i njihov smještaj unutar ormara) te opisane njihove namjene.

LITERATURA

- [1] Žito d.o.o., „Interna dokumentacija silosa“
- [2] Lokacijski smještaj OC Šljivoševci
<http://google-maps.pro/Sljivosevci#45.659035,18.215515,16> (25.5.2016.)
- [3] Satelitska snimka silosa OC Šljivoševci
<http://google-maps.pro/satellite/Sljivosevci#45.662529,18.215365,17> (25.5.2016.)
- [4] Osobne fotografije, fotografirane 24.5.2016.
- [5] SCADA sustav nadzora pogona
Autor : „SCADA“ predavanje, FER, Zagreb, 2016.
- [6] Unutrašnji prikaz izgleda sita / url:
http://i01.i.aliimg.com/img/pb/129/458/915/915458129_768.jpg (30.5.2016.)
- [7] V. Bego : „Mjerenja u elektrotehnici“, Graphis, Zagreb, 2003.”
- [8] Raspored silnica prilikom mjerena otpora uzemljenja te raspored potencijala između uzemljivača i sonde /url:
<http://documents.tips/documents/mjerenja-otpora-izolacije-otpora-uzemljenja.html>
(3.6.2016.)
- [9] Mjerni instrument Metrel Eurotest 61557 /url:
<http://www.metrel.si/products/electrical-installations-safety/multifunction-testers-eurotest-family/mi-2086-eurotest-61557.html> (5.6.2016.)
<https://i.ytimg.com/vi/XFlyxypjgcM/maxresdefault.jpg> (5.6.2016.)
- [10] Mjerni instrument termohigrobarometar Lutron /url:
<http://mioonline.com/combination-meter/33-lutron-phb-318-combination-meter.html>
(8.6.2016.)

<http://mioonline.com/49/lutron-phb-318-combination-meter.jpg> (8.6.2016.)

- [11] Mjerni instrument Metrawatt /url:

<https://www.gossenmetrawatt.com/deutsch/produkte/profitest0100s-ii.htm>

(10.6.2016.)

<http://bilder3.eazyauction.de/Wiegershaus/artikelbilder/14549.jpg> (10.6.2016.)

- [12] Razvodni ormari i zaštita pogona/url:

<Http://ss-obrnicko-industrijska->

zu.skole.hr/dokumenti?dm_document_id=225&dm_dnl=1 (13.6.2016.)

- [13] Motorni sklopniči ALEA BES/ url:

<http://www.schrack.hr/trgovina/sklopniči-motorne-zastitne-sklopke-bimetalični-releji/motorna-zastitna-sklopka-serije-alea-bes.html> (15.6.2016.)

- [14] Motorni sklopniči serije BE5 /url:

<http://www.schrack.hr/trgovina/sklopniči-motorne-zastitne-sklopke-bimetalični-releji/motorne-zastitne-sklopke-serije-be5-be6.html> (16.6.2016.)

- [15] Automatski osigurači /url:

<http://www.hager.ba/images/expert-tips/Automatskiosigurac6kA/MB325A.jpg>

(18.6.2016.)

KORIŠTENE OZNAKE I SIMBOLI

U tablici 10.1. biti će prikazan popis svih oznaka i simbola koji su korišteni u diplomskog radu. Detaljan opis svakog simbola ili oznaka podrazumijeva naziv istih i njihova mjerna jedinica.

Tablica 10.1. Oznake i simboli korišteni u diplomskom radu

SIMBOL/OZNAKA	NAZIV	VRIJEDNOST	MJERNA JEDINICA
Z_s	Impedancija petlje kvara	-	Ω
I_a	Prekidna struja osigurača	-	A
t	Vrijeme isklapanja	-	s
U_0	Nazivni napon prema zemlji	-	V
R_p	Otpor uzemljenja	-	Ω
ρ	Specifični otpor zemljишta	-	Ωm
a	Polumjer polukugle naponskog lijevka	-	m
U_{ZS1}, U_{ZS2}	Napon uzemljivača	-	V
R_z, S_1, S_2	Otpori uzemljivača	-	Ω
l	Duljina uzemljivača	-	m
D	Promjer prstenastog uzemljivača	-	m
F	Površina koja omeđuje prstenasti uzemljivač	-	m^2
R_{dop}	Dozvoljeni otpor rasprostiranja	-	Ω
R_{iz}	Izmjereni otpor rasprostiranja	-	Ω
I_n	Nazivna struja odvođenja	-	A
I_m	Maksimalna vrijednost struje odvođenja	-	A
U_c	Najviši radni napon	-	V
U_p	Zaštitna naponska razina	-	V

Z_{Loop}	Impedancija petlje u kvaru	-	Ω
I_k	Struja kratkog spoja	-	A
X	reaktancija	-	Ω
X_0	Nulta reaktancija	-	Ω
κ	kapa	20	-
I_u	Udarna struja	-	A
I_2	Proradna struja zaštitnog uređaja	-	A
I_Z	Trajna struja vodiča	-	A
I_B	Projektirana struja	-	A
ϕ	kut	-	$^\circ$
P_{inst}	Instalirana snaga	-	W
P_{vr}	Vršna snaga	-	W
I_{vr}	Vršna struja	-	A
f	Faktor strujnog opterećenja kabela	0.8	-
R_t	Omski otpor kabela	-	Ω
R_{20}	Otpor pri 20°C	-	Ω
Z_t	Impedancija transformatora	-	Ω
Z_m	Impedancija mreže	-	Ω
Z_k	Impedancija kabela	-	Ω
P_{Cu}	Gubici tereta	-	W
$u\%$	Induktivni pad napona	-	%
X_t	Induktivni otpor transformatora	-	Ω/fazi
L	Duljina trake	-	m
d	Debljina trake	-	m
R_u	Udarni otpor rasprostiranja		

SAŽETAK

U ovom diplomskom radu analiziran je pogon za sušenje žitarica sa tehničkog gledišta. Uz opis rada silosa, prikazani su načini upravljanja pojedinih dijelova pogona koji rade kao cjelina. Također, objašnjeni su načini spajanja pojedinih komponenata sustava na mrežu pomoću elektromotornih shema. Provedena su mjerena potrebna za puštanje i održavanje pogona u radnom procesu, te su rezultati istih prikazani u tablicama uspoređujući ih sa dozvoljenim vrijednostima. Glavni dijelovi mjerena su bili mjerena otpora uzemljenja u svrhu zaštite od statičkog elektriciteta, mjerena otpora rasprostiranja uzemljivača, provjera stanja sustava zaštita od munja, ispitivanja električnih instalacija, mjerena otpora petlje kvara itd. Nastavak na mjerena su proračuni, kojima su prikazana različita računska rješenja za izračunavanje potrebnih pogonskih stanja. Netom prije opisanih mjernih metoda i rezultata, tehničkim opisom su prikazani položaji pojedinih dijelova sustava te razna izvedena tehnička rješenja. Diplomski rad je završen dijelom koji ima primarnu funkciju zaštite zaštitnih uređaja u pogonima te ljudi koji se nalaze u njemu.

Ključne riječi: silos, elektromotorne sheme, tehnički opis postrojenja, mjerena otpora uzemljenja, mjerena otpora petlje kvara, mjerena otpora rasprostiranja uzemljivača, proračuni, zaštitni uređaji, ispitivanja električnih instalacija.

ABSTRACT

This thesis analyzed the plant for drying grain from a technical point of view. With the description of the silo, are ways of managing certain parts of the drive to work as a whole. Also, explained ways to connect certain the governance system to a network using electric scheme. Performed measurements are required for commissioning and plant maintenance in the work process, and the results thereof are shown in the tables comparing them with the allowed values. Main parts of the measurements were measuring ground resistance to protect against static electricity, measuring ground resistance, check the status of system protection against lightning, testing electrical wiring, loop resistance measurement failure, etc. Continued measurements budgets, which are shown in different computing solutions calculate the required operating conditions. Just before the described measurement methods and results, technical description shows locations of each part of the system and performed various technical solutions. Thesis is finished part which has the primary function of protecting the protective devices in the plants and the people who are in it.

Keywords: silo, electromotive schemes, technical description of the plant, measuring ground resistance, resistance measurement loop fault, measuring ground resistance, budgets, protection devices, testing of electrical installations.

ŽIVOTOPIS

Domagoj Pleša rođen je 22.6.1992. u Našicama. Mjesto u kojem prebiva od rođenja do danas je Magadenovac, dok privremeno boravište ima u Osijeku. Osnovnu školu pohađa u svom mjestu boravka, ostvarujući odličan uspjeh. Osim uspjeha u školi te četverogodišnjeg nastupanja na županijskim natjecanjima u matematici, aktivno se bavio nogometom.

Srednjoškolsko obrazovanje započinje i završava u Našicama polazeći opću gimnaziju. Sve četiri godine ostvaruje vrlo dobar opći uspjeh, a među sportskim uspjesima ističe se kao kapetan odbojkaške izabrane vrste Srednje škole „Isidor Kršnjavi“ Našice.

Nakon završene srednje škole upisuje Elektrotehnički fakultet u Osijeku kao redovan student, te se na drugoj godini istog studija odlučuje za smjer elektroenergetika. 2014. godine završava isti te stječe akademski naziv Sveučilišni prvostupnik inženjer elektrotehnike. Iste godine upisuje diplomski studij elektrotehnike, smjer Elektroenergetika.

Govori engleski jezik i informatički je pismen.

U Osijeku, rujan 2016.

Domagoj Pleša

Potpis :

